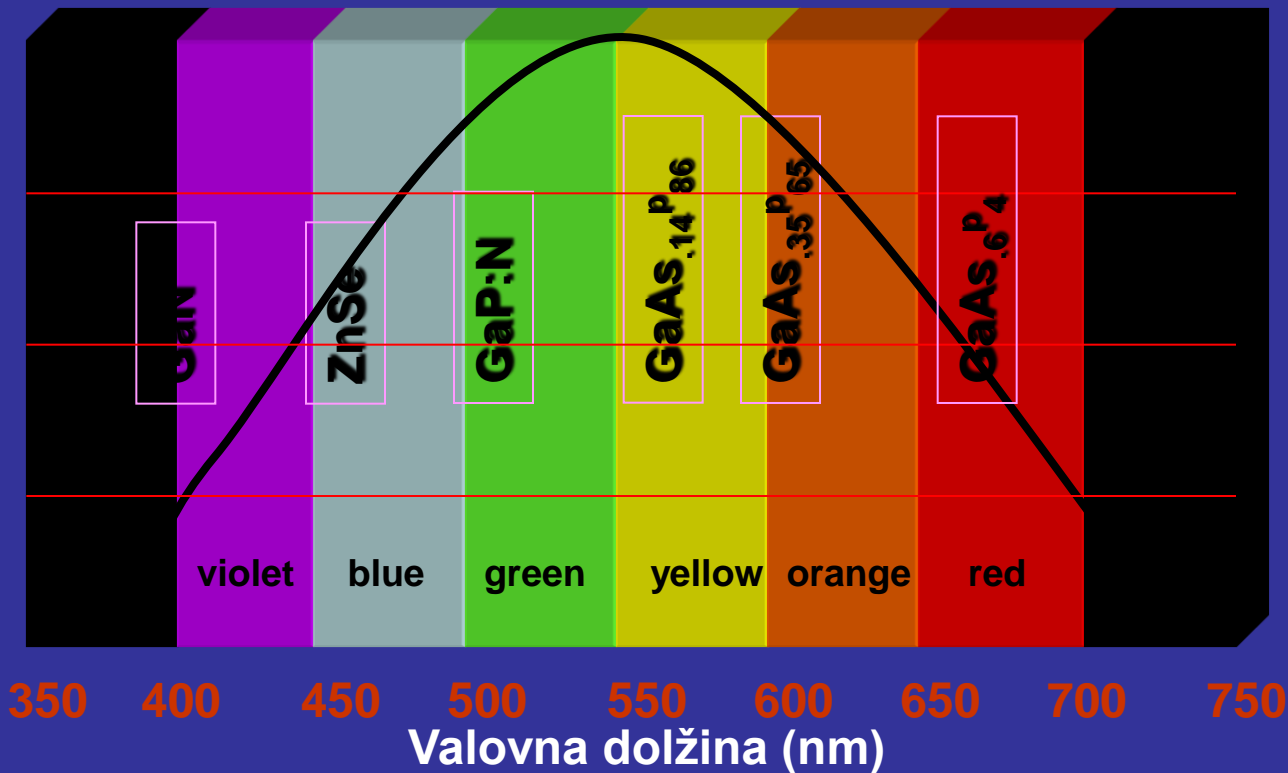


Moderni polprevodniški izvori svetlobe



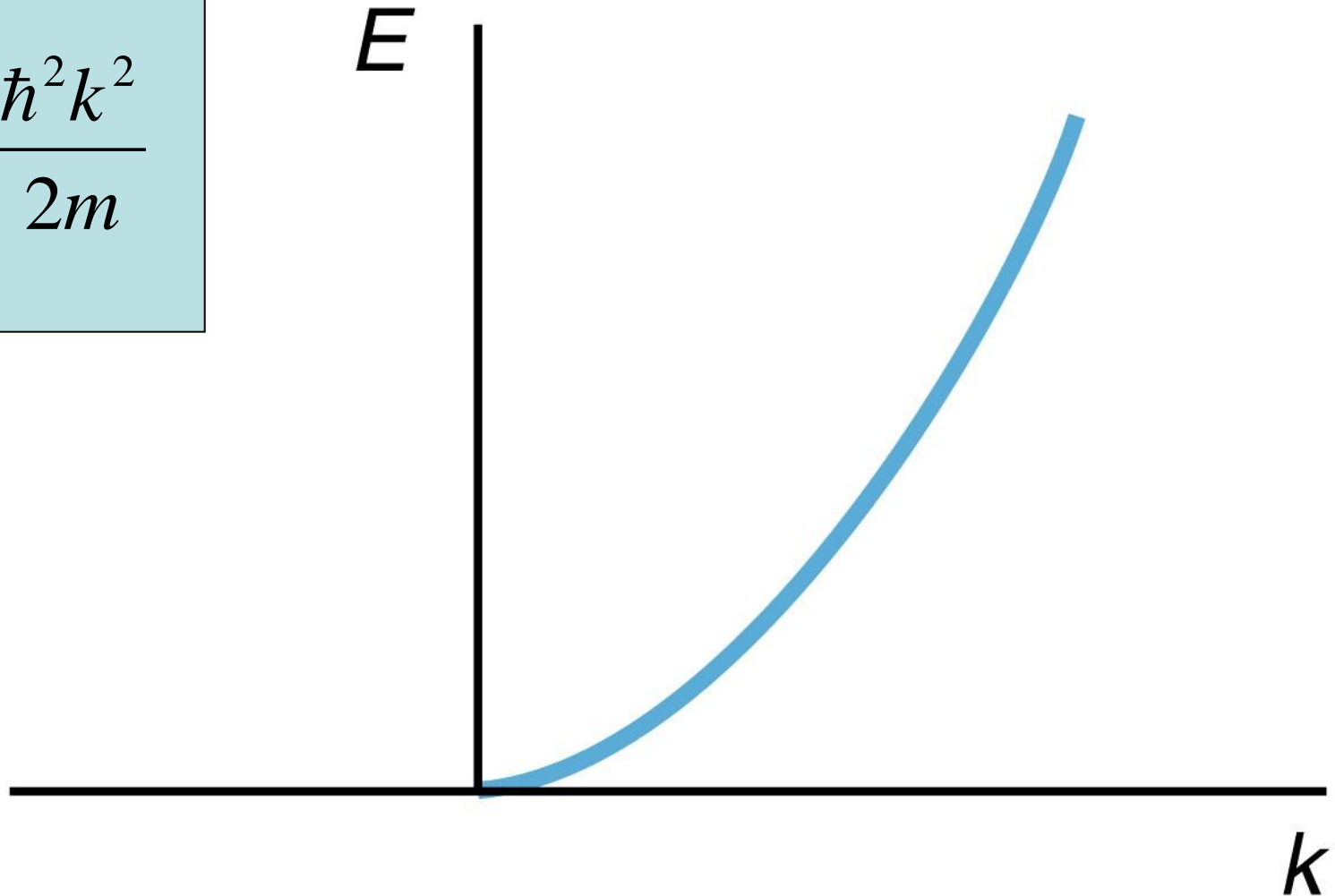
Marko Zgonik, Oddelek za fiziko FMF,
22.10. 2010

Moderni polprevodniški izvori svetlobe

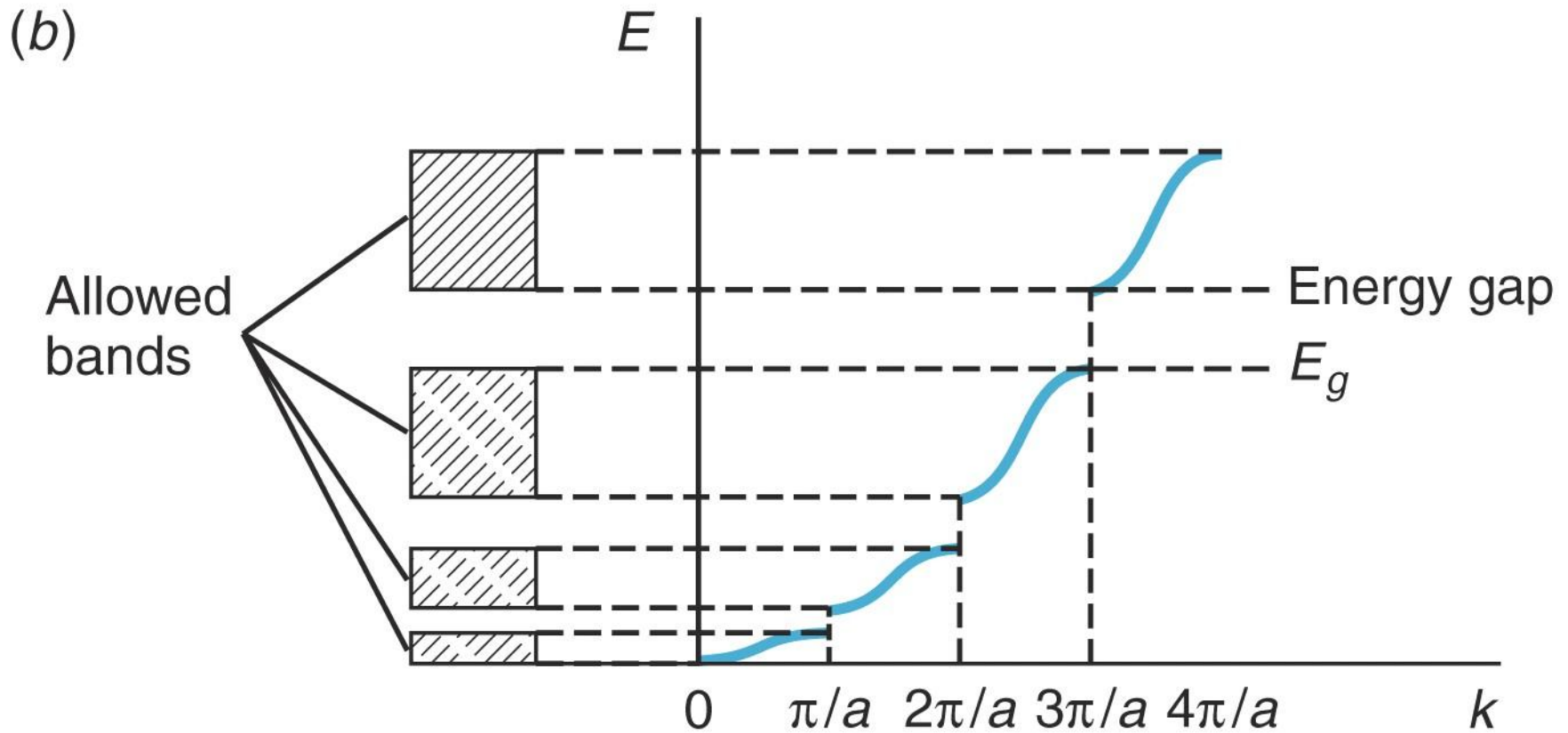
- Osnovna fizika elektronskih stanj
- Interakcija svetlobe in elektronov
- Nehomogeni polprevodniki - heterostrukture
- Delovanje svetlečih diod in laserjev
- Tehnologija izdelave
- Nekaj fotometrije
- Primeri naprav in njihovih karakteristik

Energija prostega elektrona

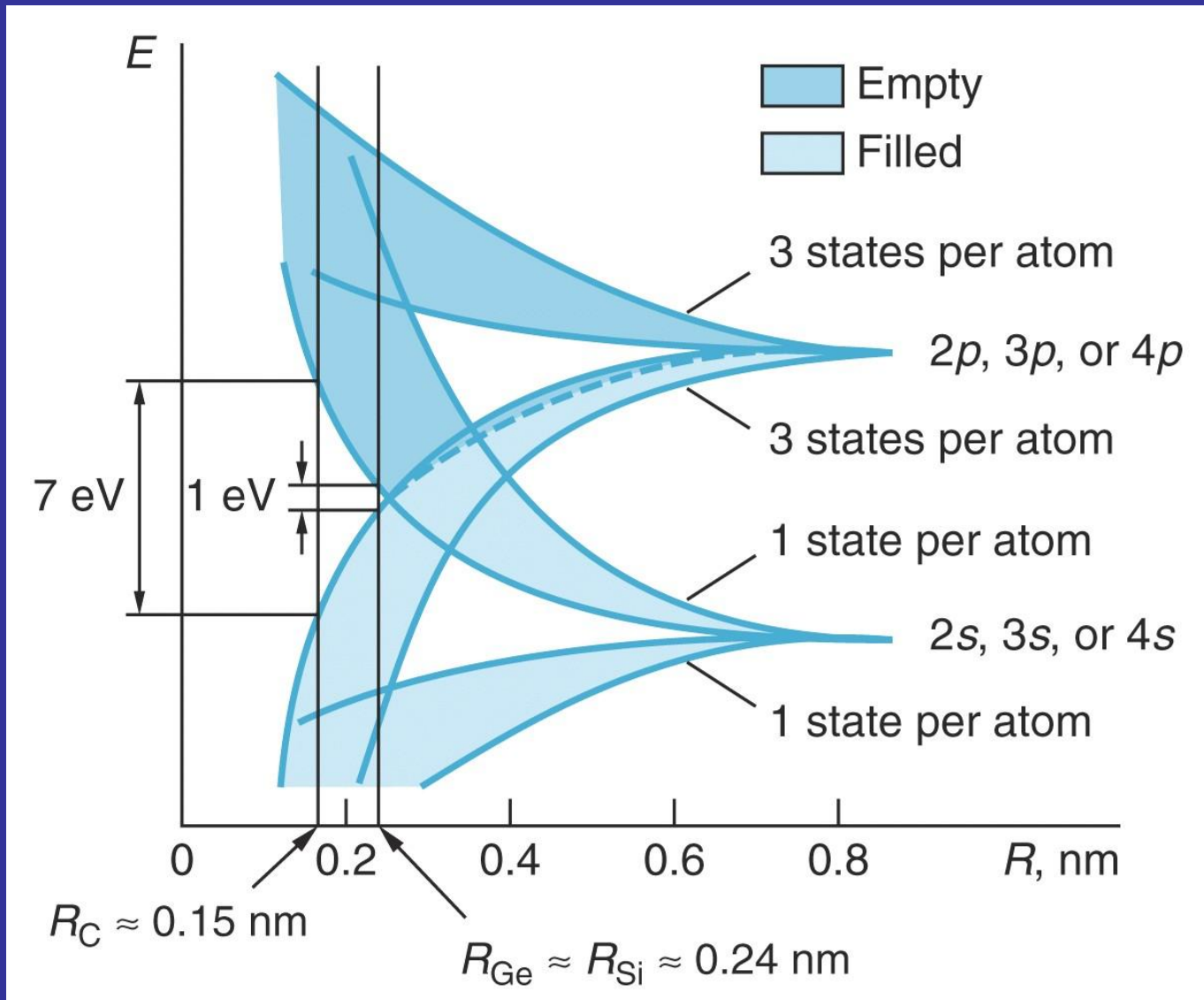
$$E = \frac{\hbar^2 k^2}{2m}$$



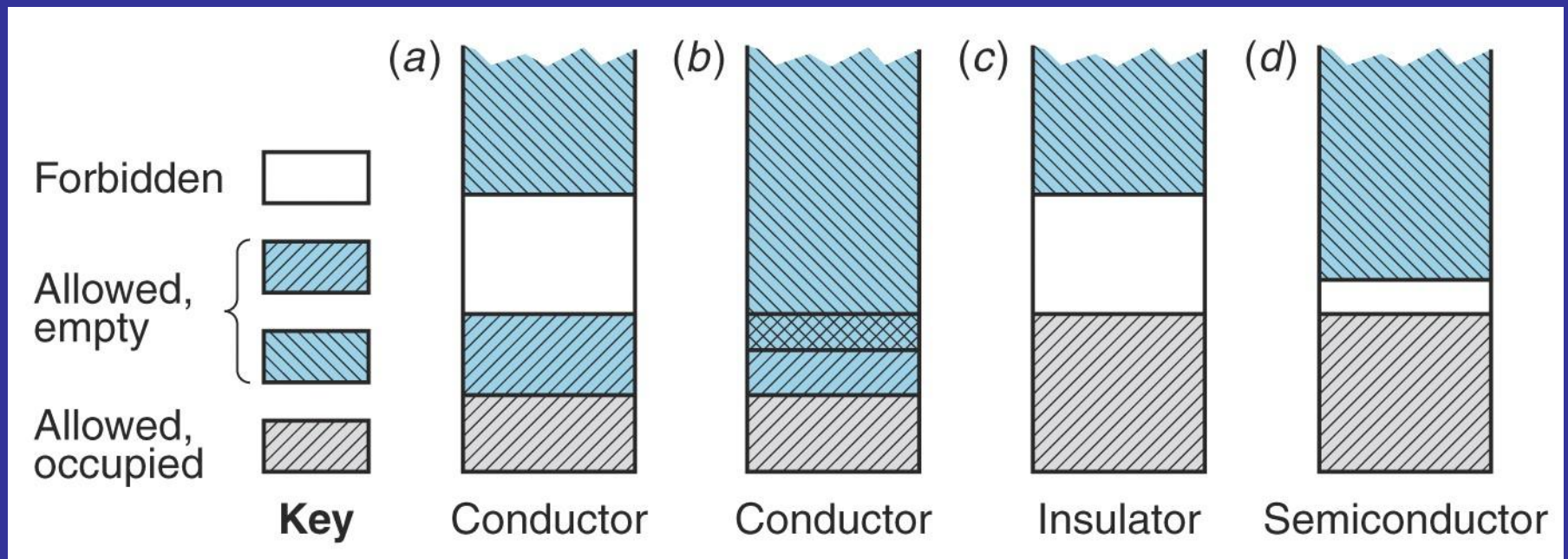
Energija elektrona v periodičnem potencialu



Elektronska stanja v Si, Ge in C



Shema elektronskih stanj v različnih materialih



ELEKTRONSKA STANJA

(a) izolator ali polprevodnik
(b) kovina

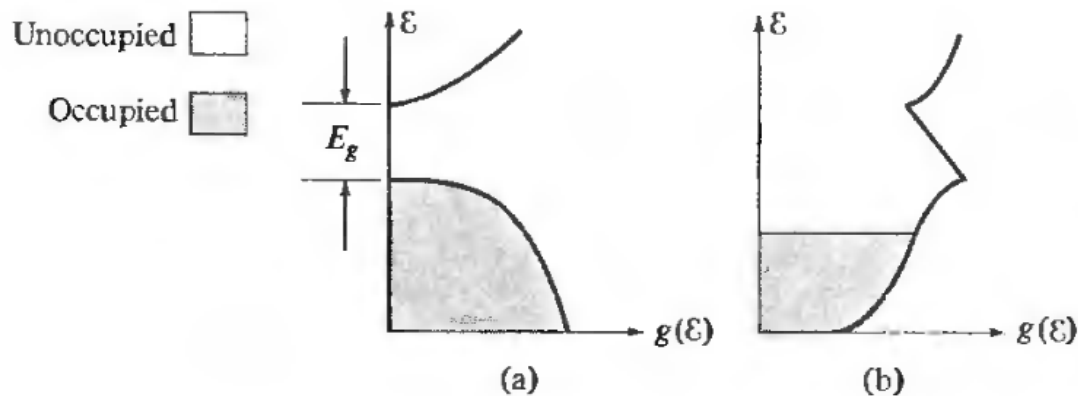
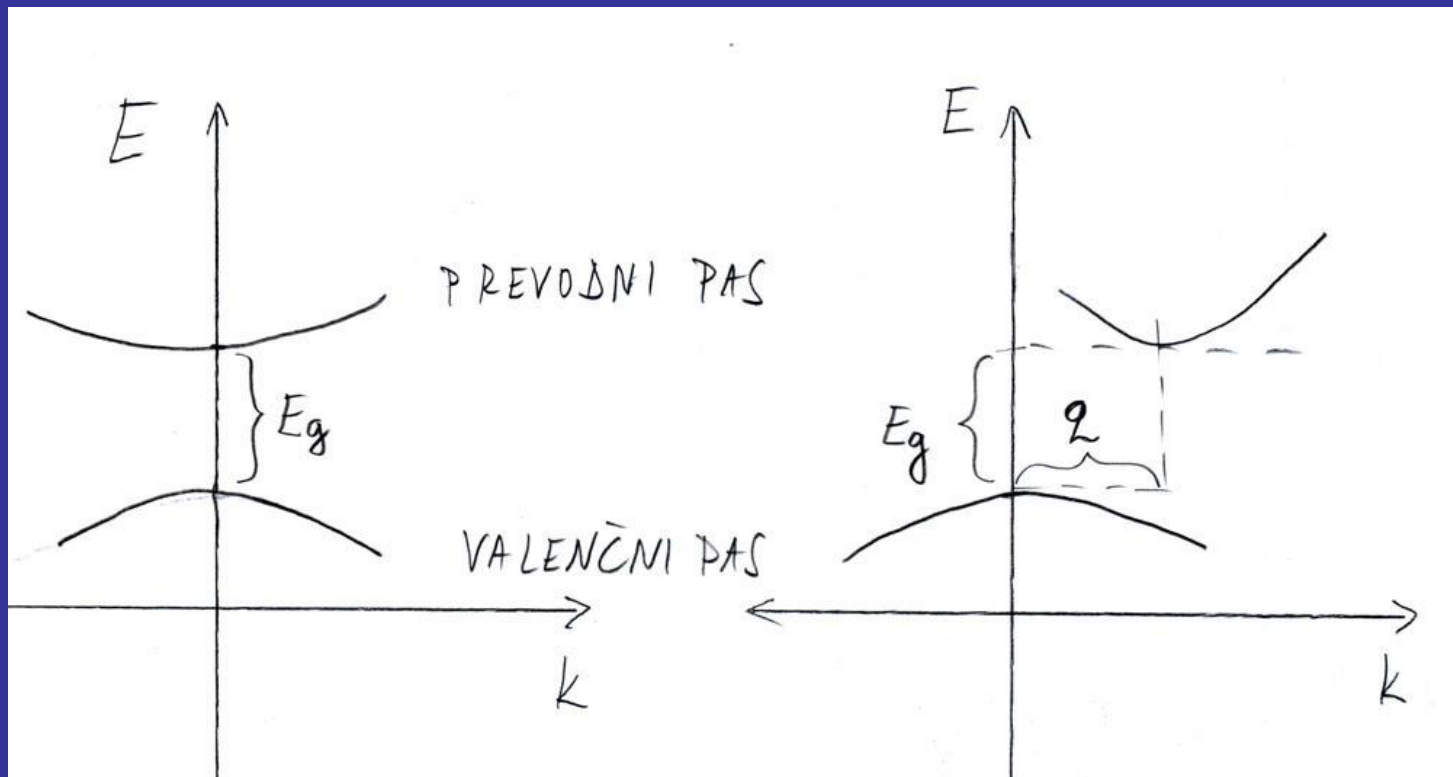


Figure 28.1

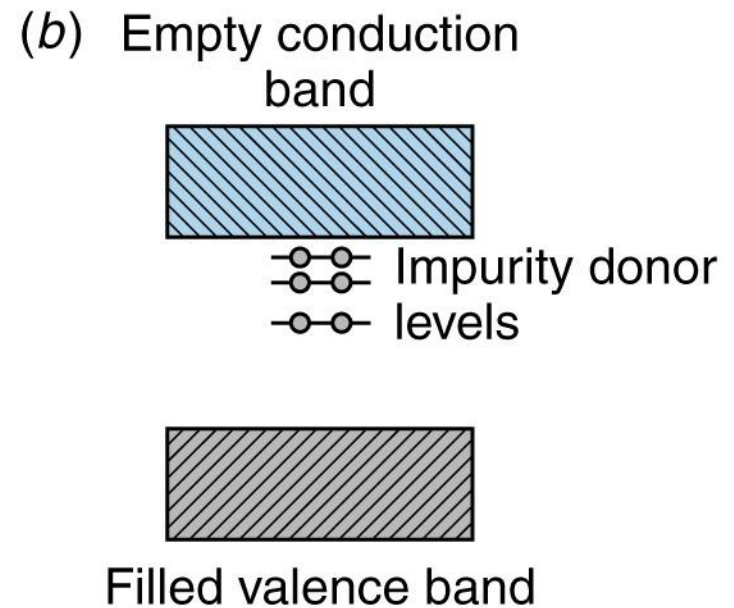
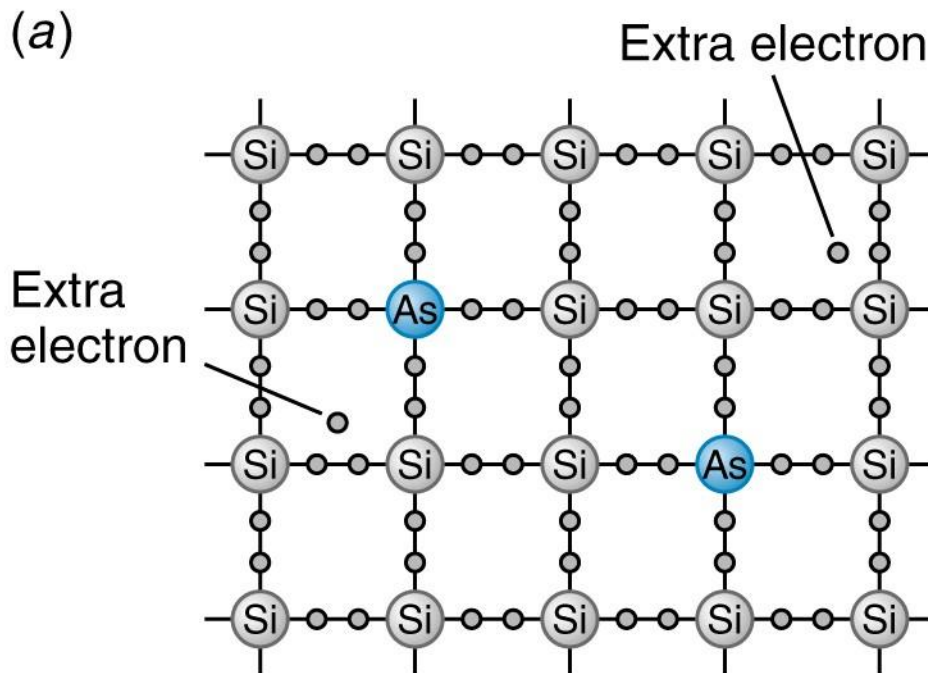
(a) In an insulator there is a region of forbidden energies separating the highest occupied and lowest unoccupied levels. (b) In a metal the boundary occurs in a region of allowed levels. This is indicated schematically by plotting the density of levels (horizontally) vs. energy (vertically).

Energija elektronov v direktnem in indirektnem polprevodniku



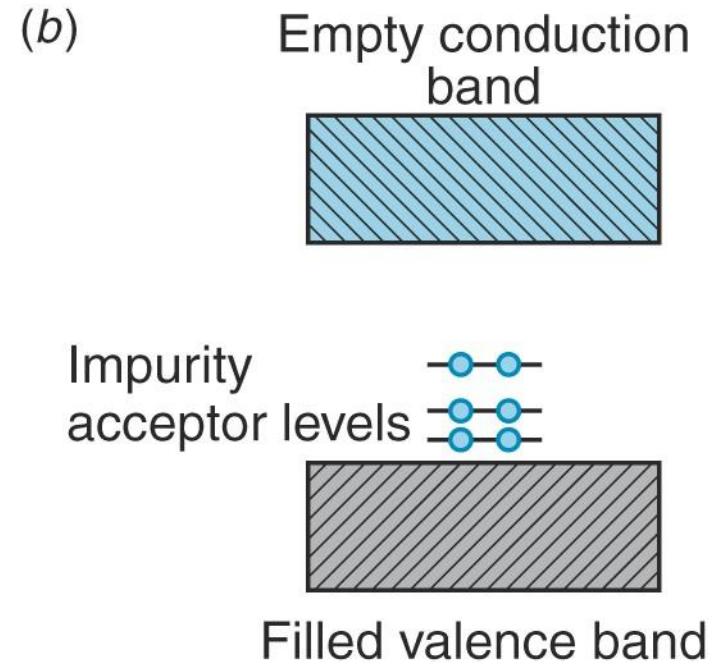
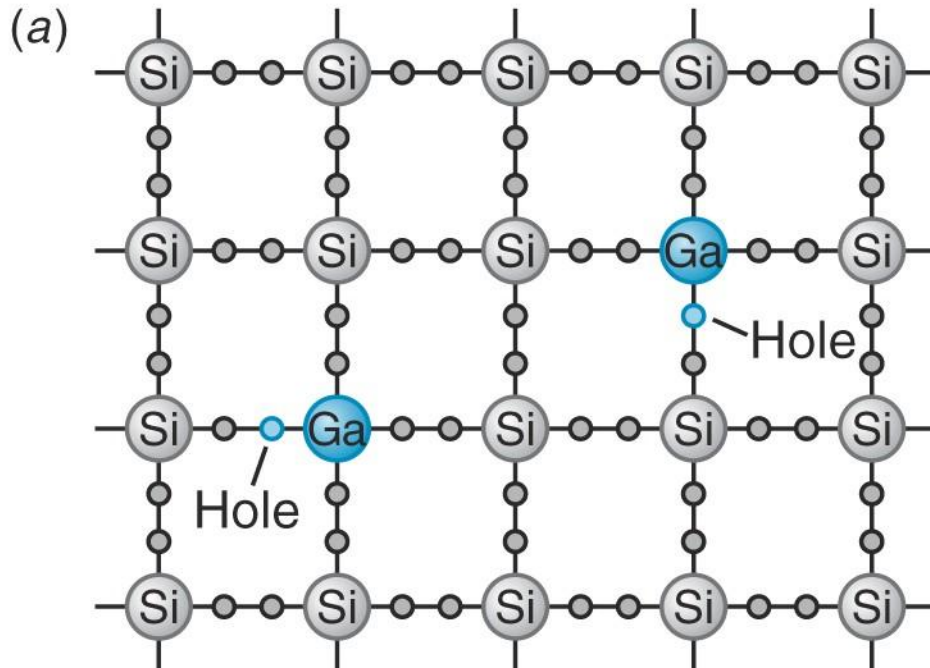
Dopiranje Si z As

n - dopiranje

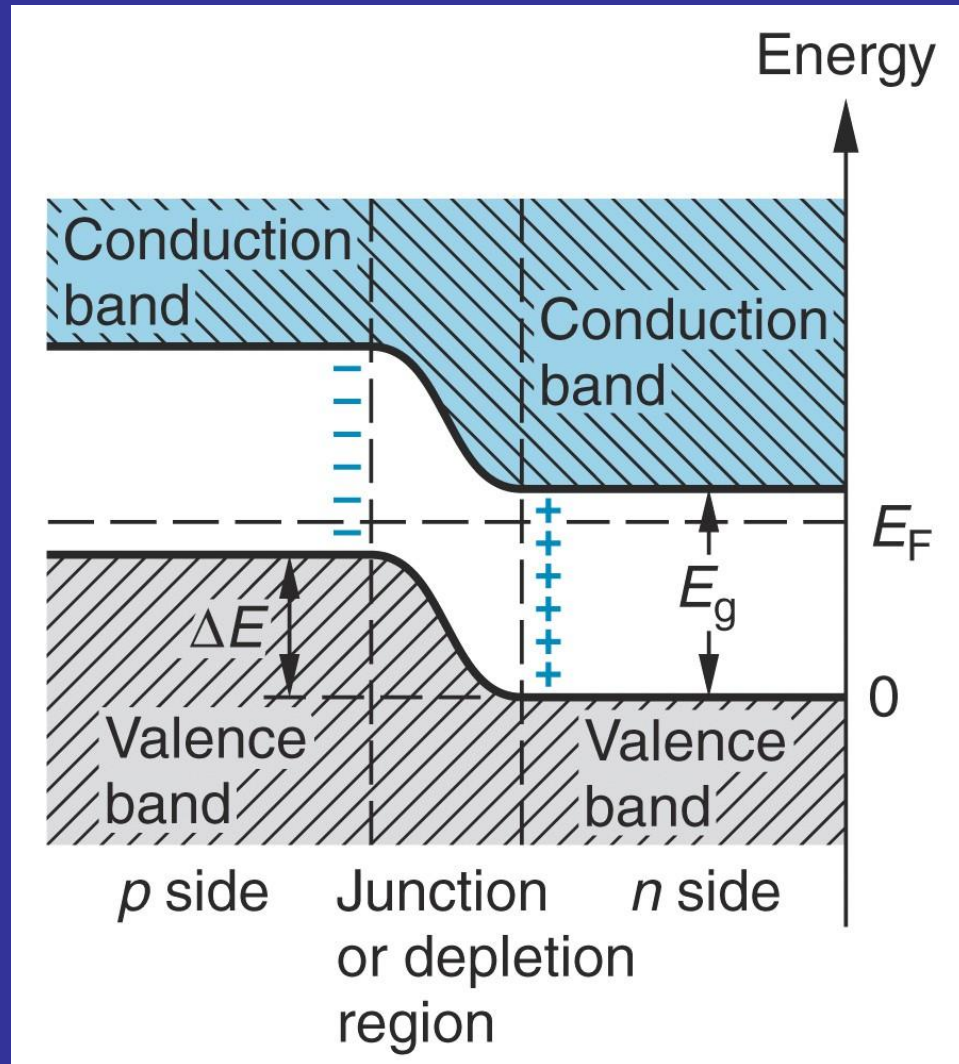


Dopiranje Si z Ga

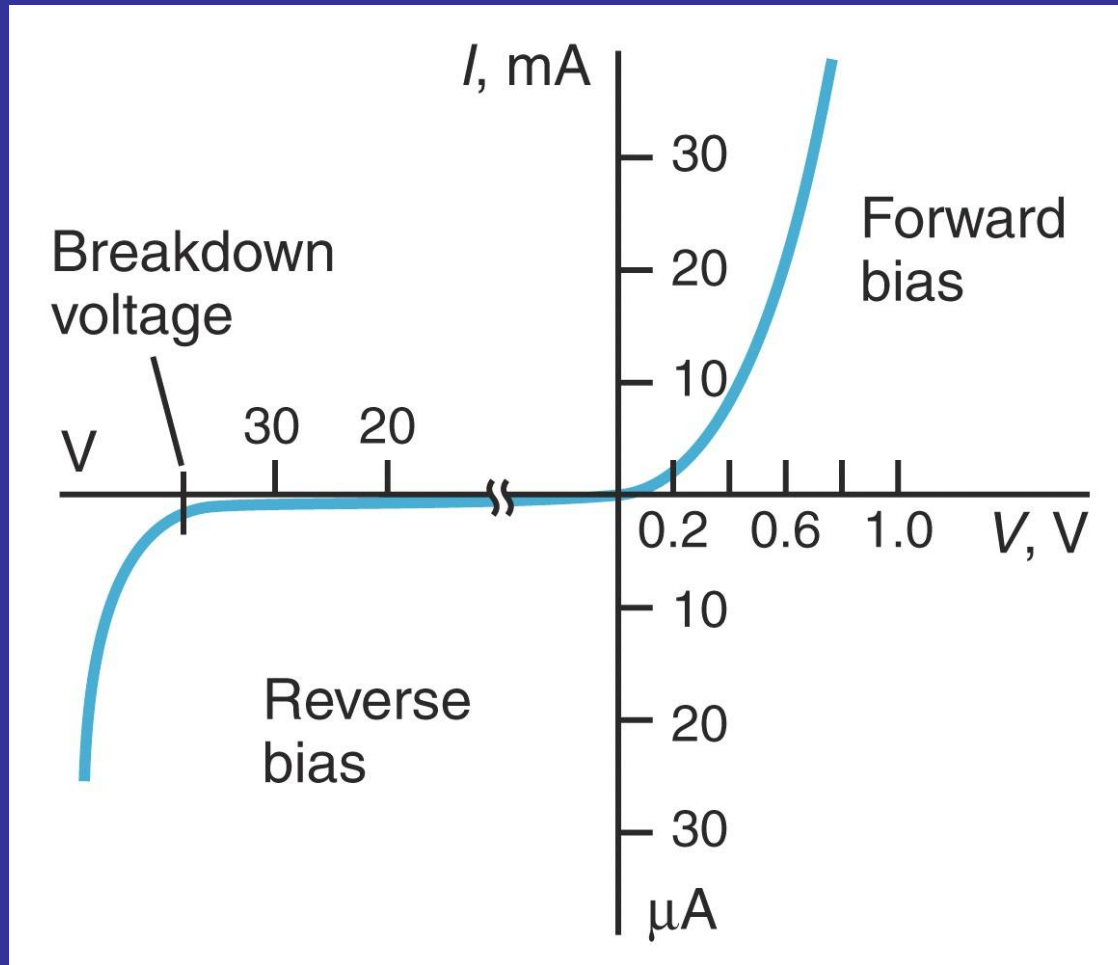
p - dopiranje



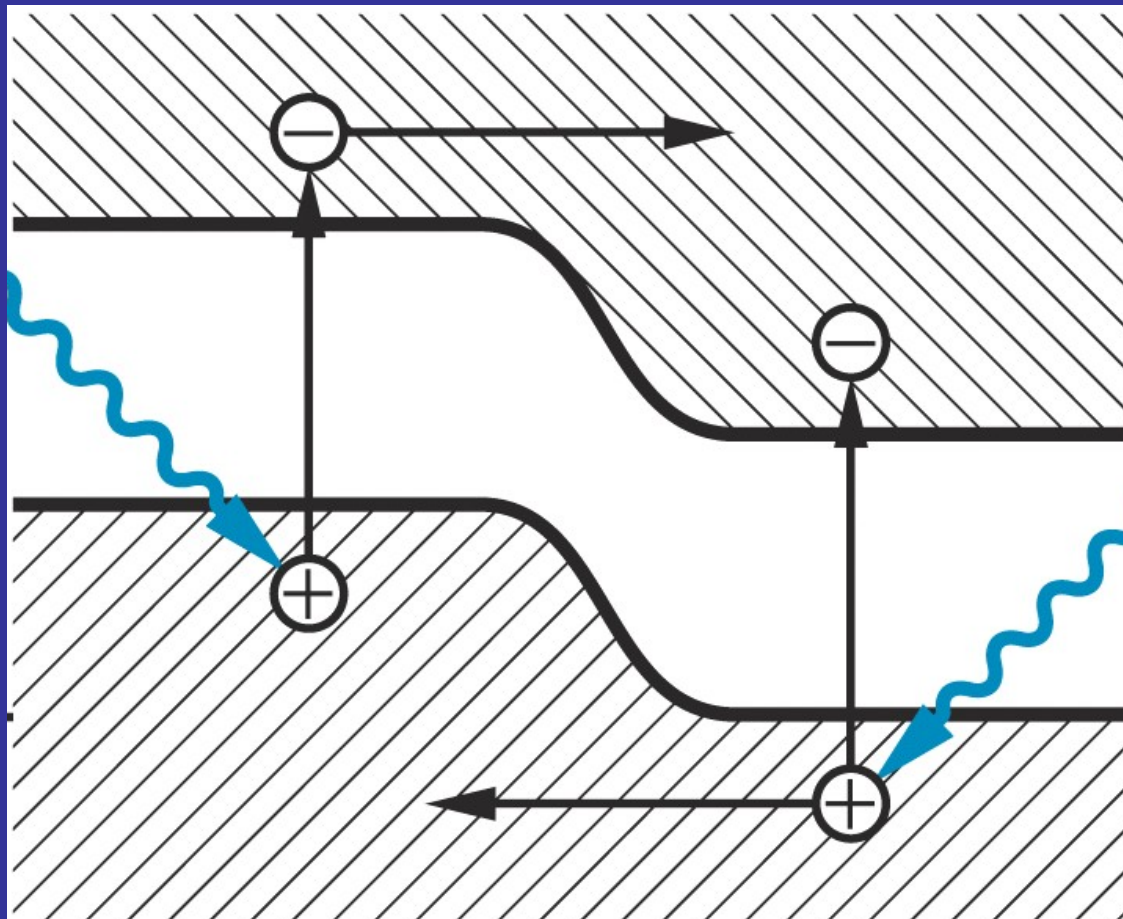
Spoj pn



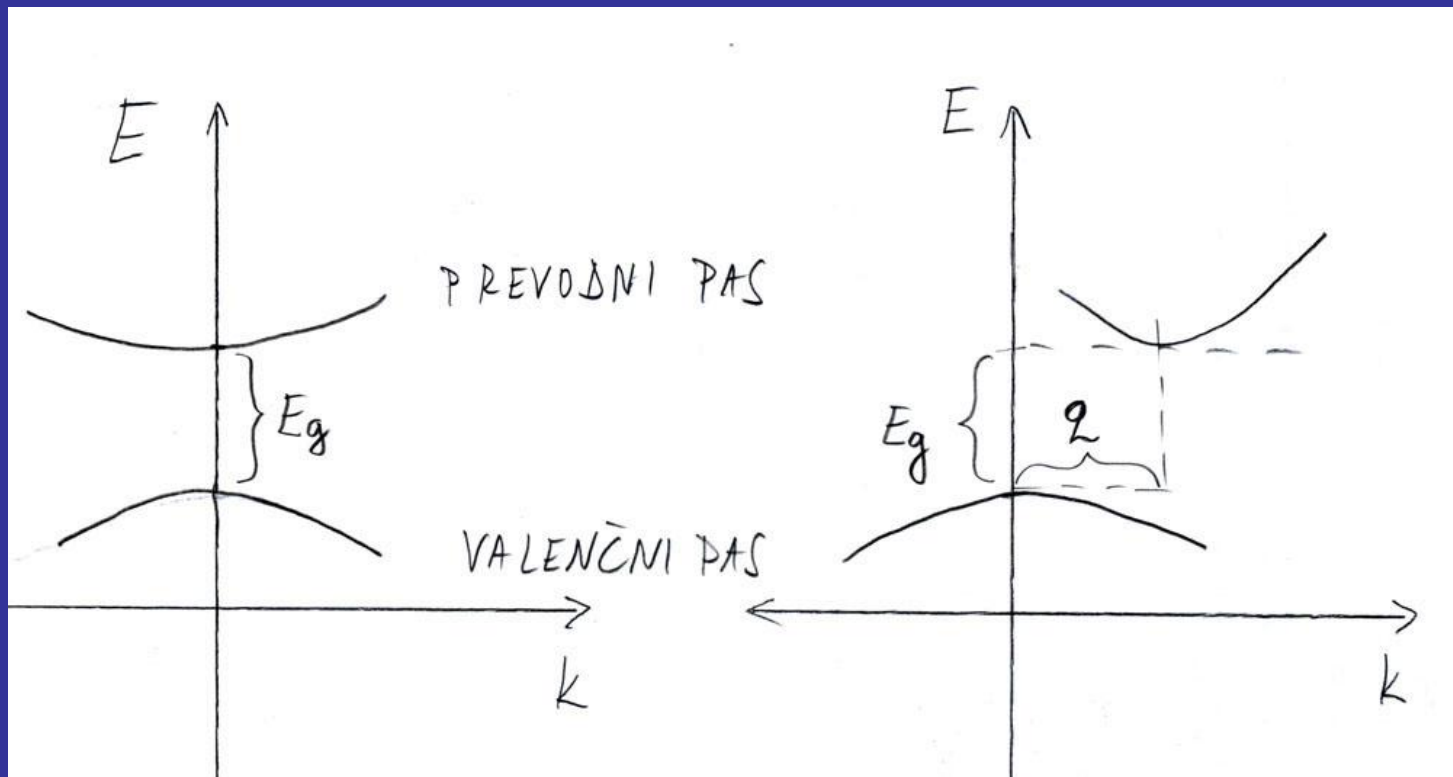
Karakteristika *pn* spoja, polprevodniška dioda



Notranji fotoefekt v *pn* spoju



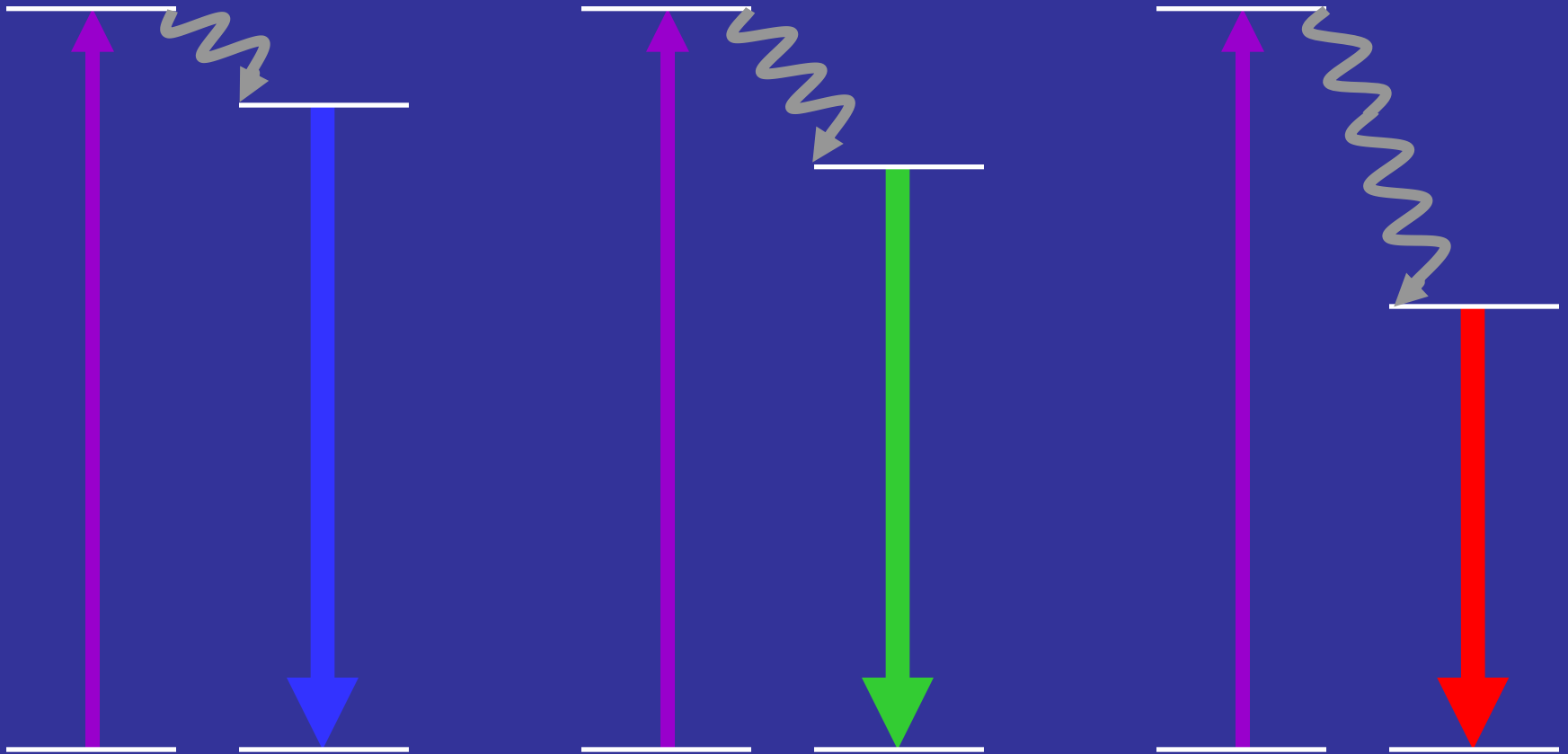
Energija elektronov v direktnem in indirektnem polprevodniku



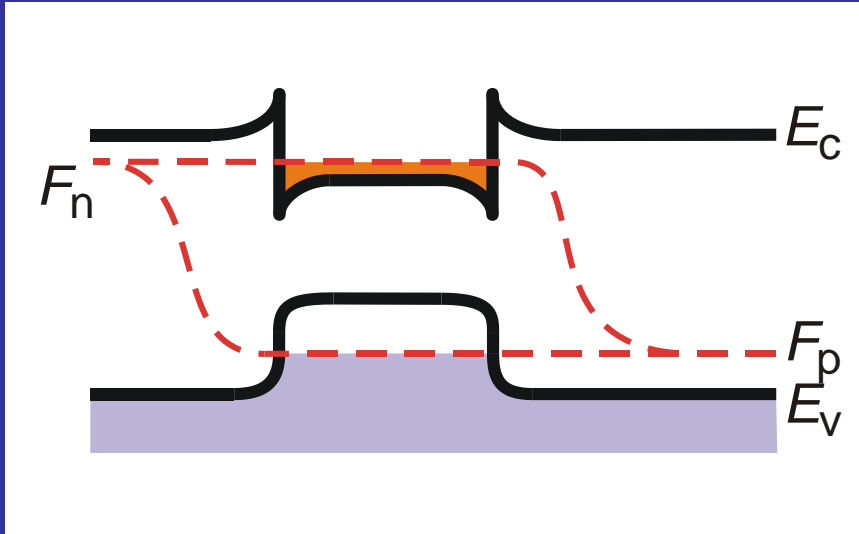
Nekaj, kar je dobro vedeti

$$\lambda = \frac{1248 \text{ nm eV}}{E}$$

Photoluminiscenza

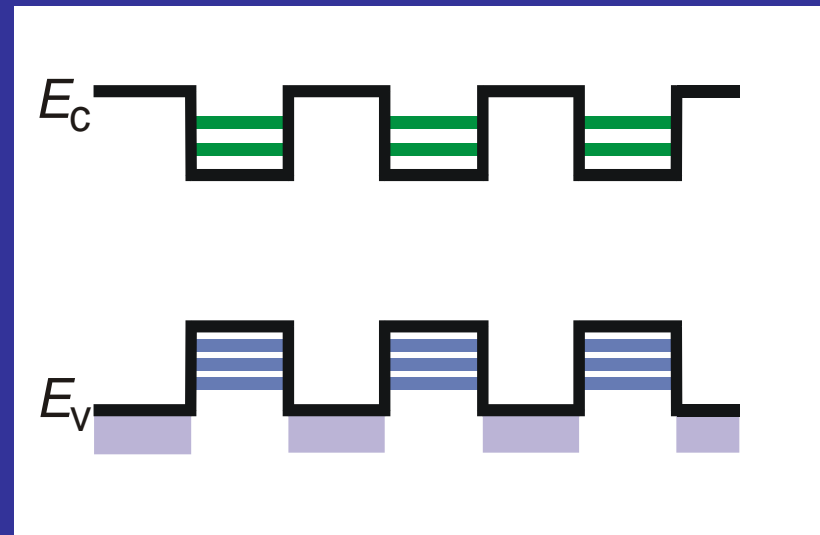


Elektronska stanja v heterostrukturah

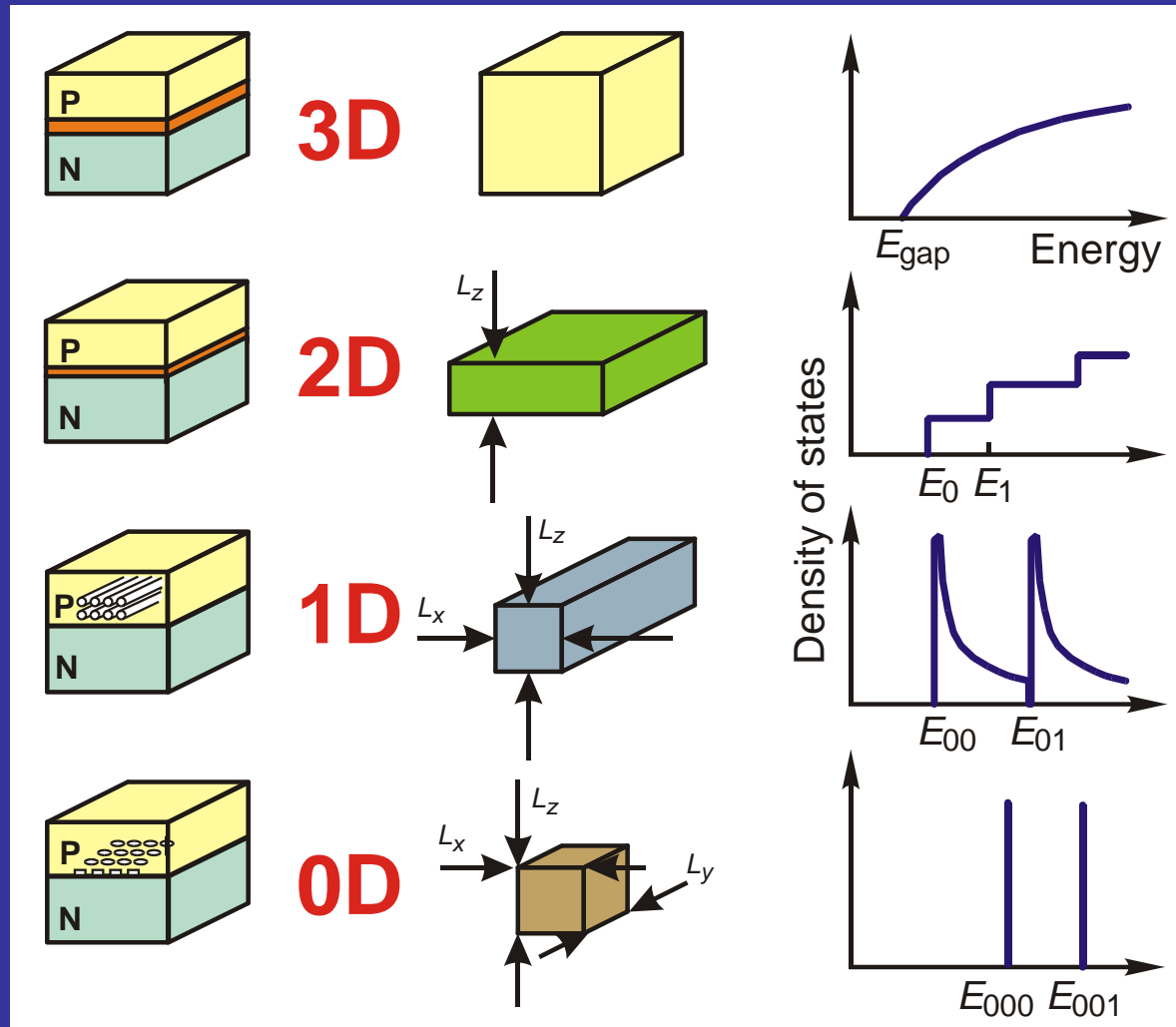


**Koncentracija
(omejevanje) elektronov
in svetlobe v tanki plasti**

**Kvantne jame, enojne
in večkratne**



Kako lahko omejujemo elektrone



Elektroni v *pn* spoju in v hetero-strukturi

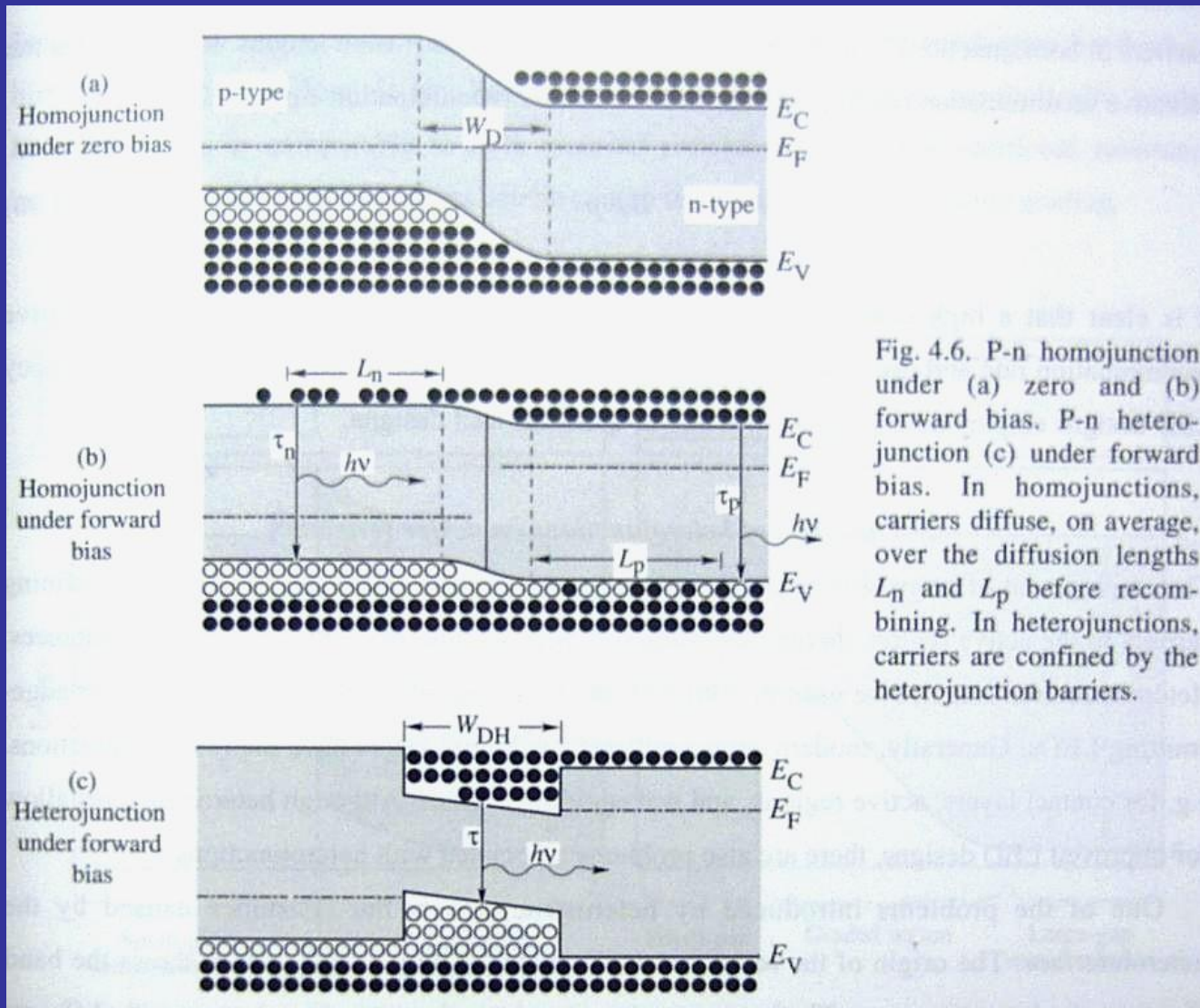
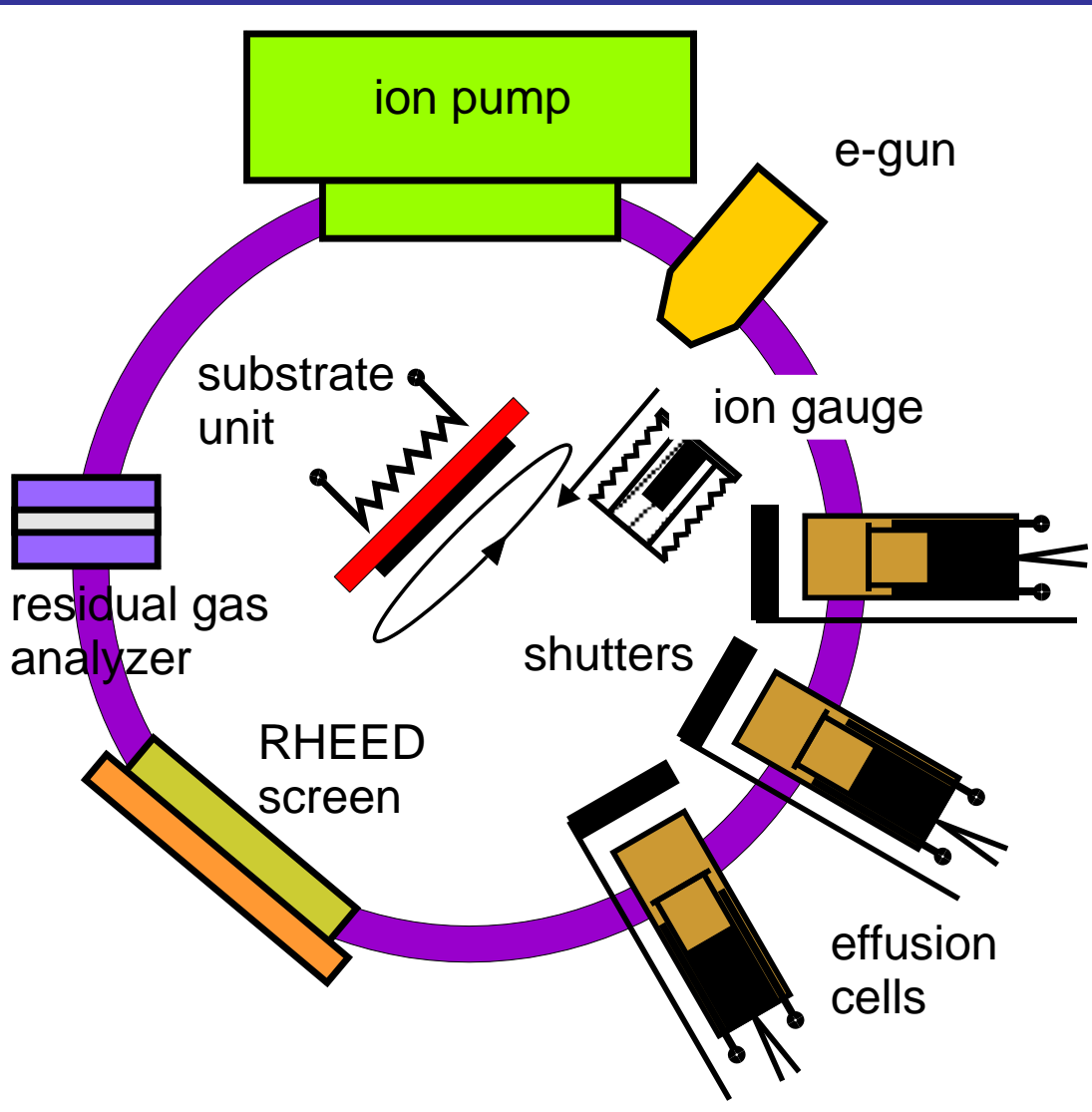


Fig. 4.6. P-n homojunction under (a) zero and (b) forward bias. P-n heterojunction (c) under forward bias. In homojunctions, carriers diffuse, on average, over the diffusion lengths L_n and L_p before recombining. In heterojunctions, carriers are confined by the heterojunction barriers.

Molecular Beam Epitaxy (MBE) III–V compounds



Molekularna žarkovna
epitaksija

Zelo dobra kontrola
čistosti in sestave, dobra
kontrola strukture v času
rasti, natančnost debeline
skoraj na atomsko plast.

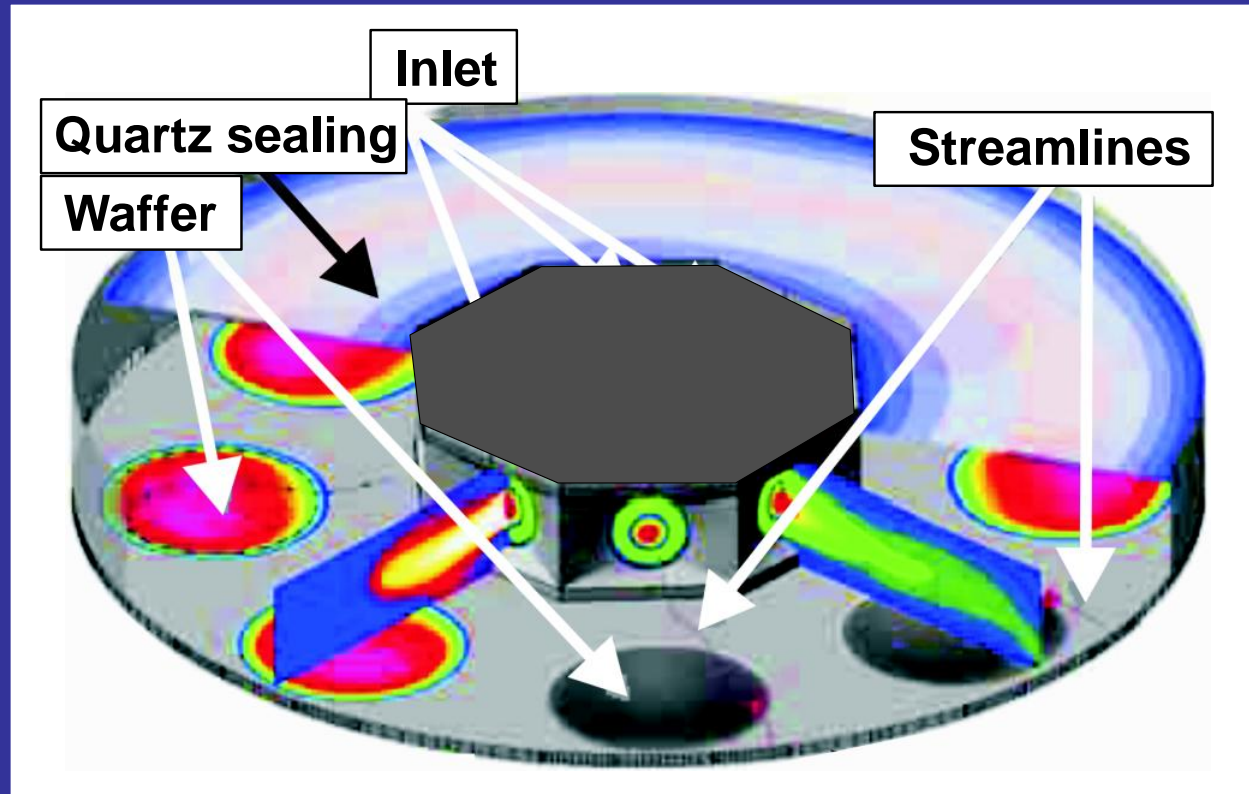
Shema MBE

Molecular Beam Epitaxy (MBE) III–V compounds



MOCVD growth of III–V compounds

Schematic
view of
MOCVD
chamber



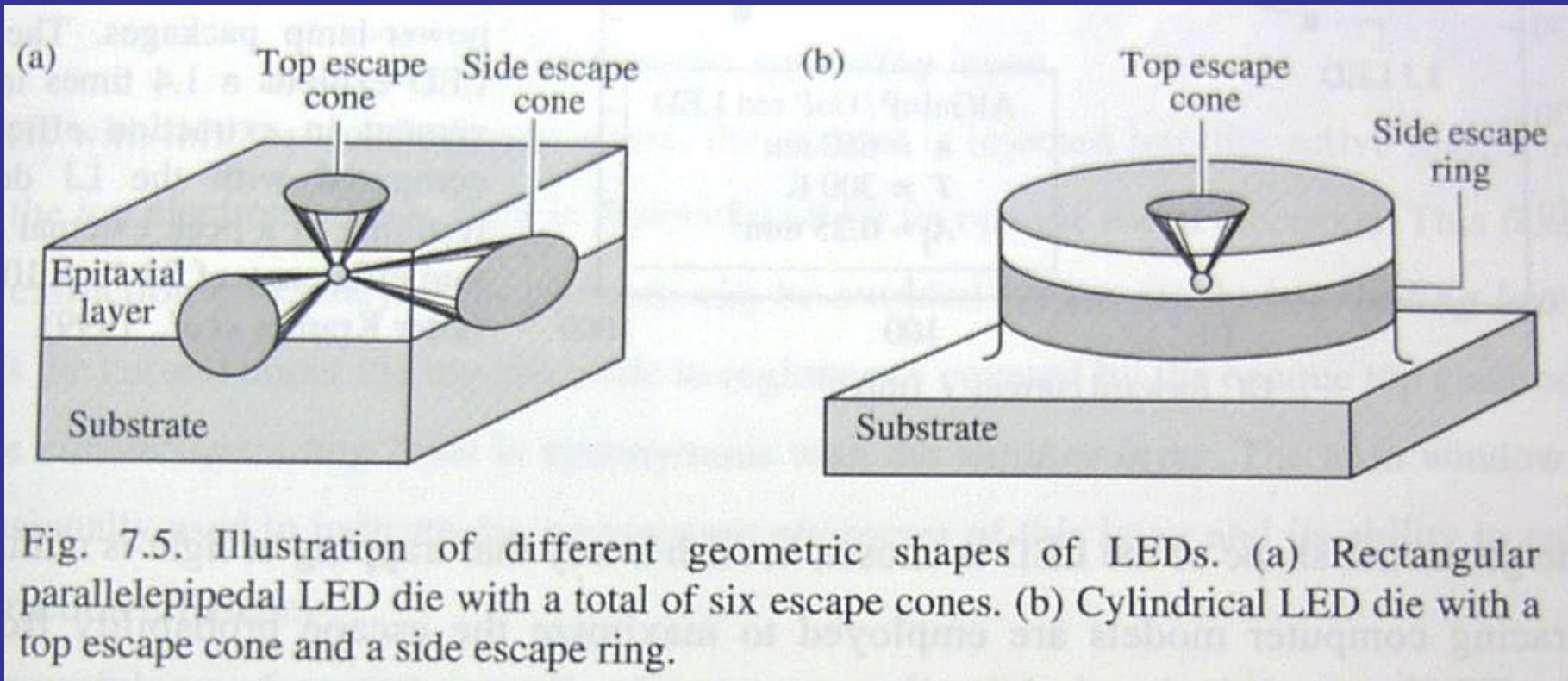
MOCVD — high purity of materials,
large-scale device-oriented technology

MOCVD growth of III–V compounds



**Aixtron AIX2000
HT
(up to 6 x 2”
wafers)
Production
oriented growth
machine for the
fabrication of
device structures**

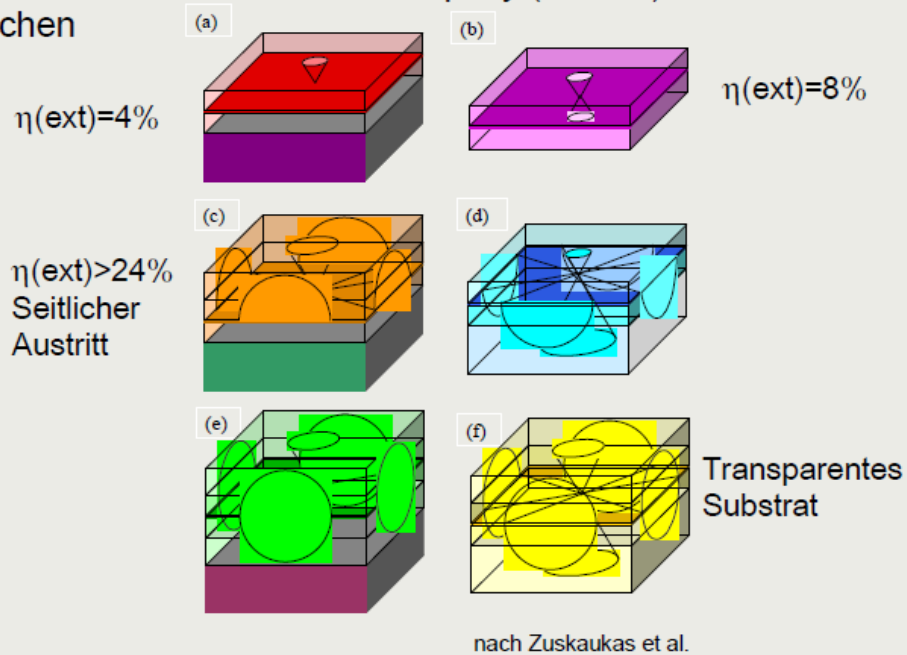
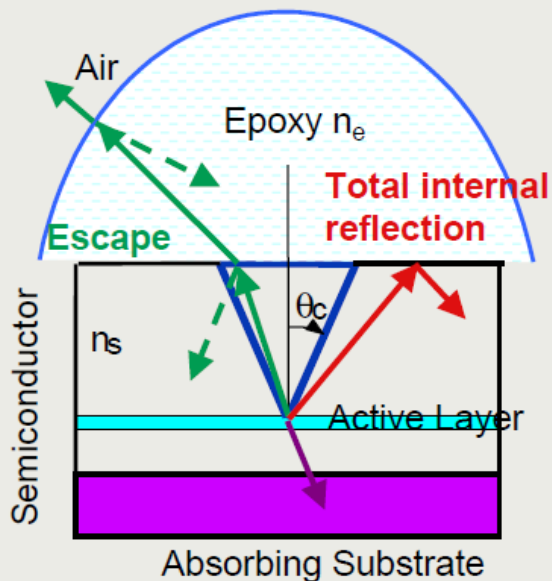
LED: kako do svetlobe iz polprevodnika?



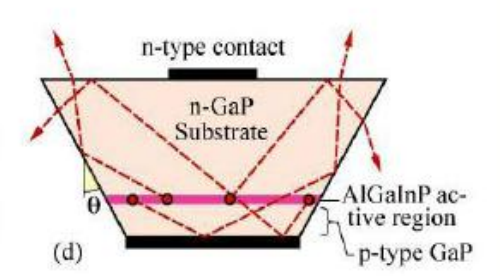
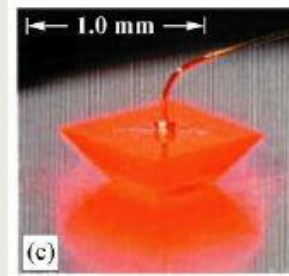
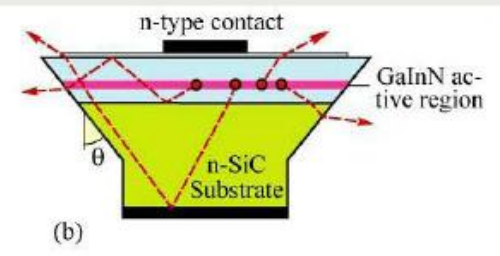
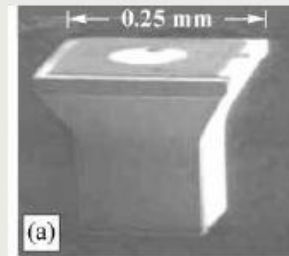
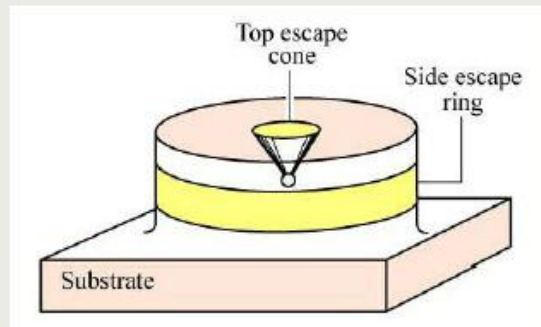
Geometrija je pomembna zaradi loma
na meji polprevodnika

Kaj omejuje izkostonost LED

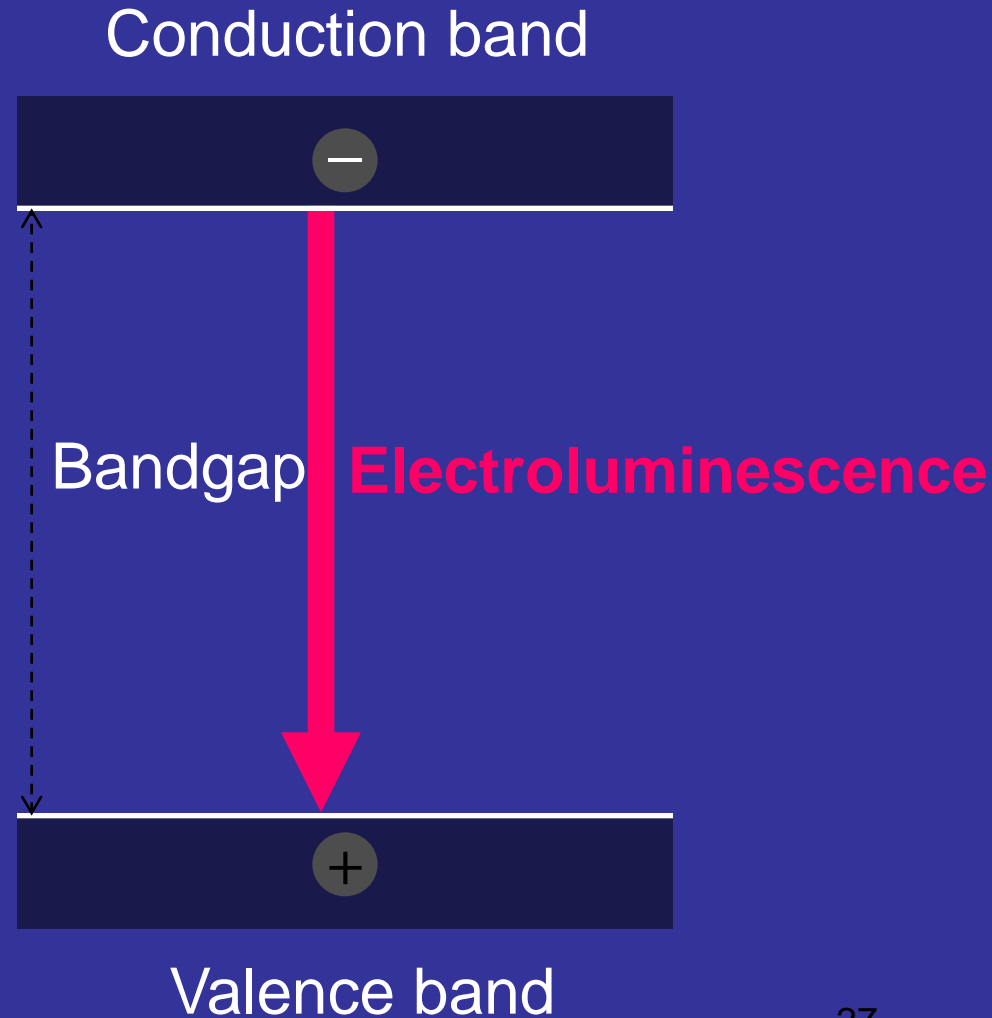
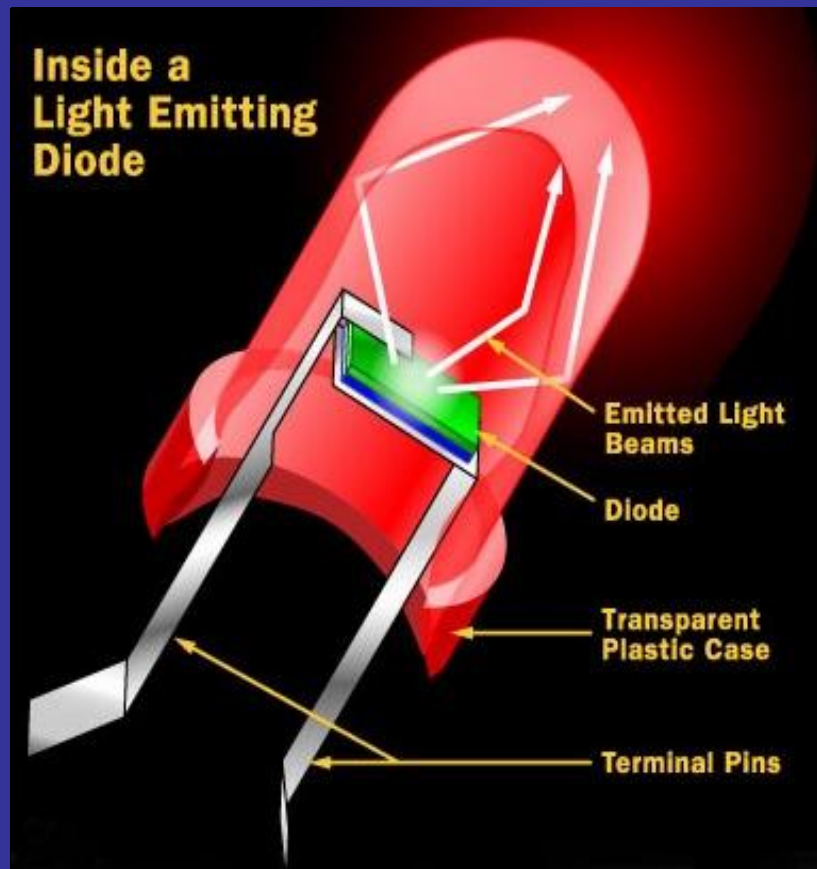
- Grenzwinkel α_g : $\sin \alpha_g = n_2/n_1$ (← Brechungsgesetz)
 - n_2 (Luft) = 1
 - $n_1 = 1,5$: $\alpha_g \approx 42^\circ$
 - $n_1 = 2,5$: $\alpha_g \approx 24^\circ$
 - $n_1 = 3,5$: $\alpha_g \approx 17^\circ$
- Vergrößerung des Austrittskegels durch Überschichten mit z.B. Epoxy ($n \approx 1.5$)
- möglichst viele Austrittskegel ermöglichen



Kako izboljšati izkoristek LED



Običajna svetleča dioda (LED)



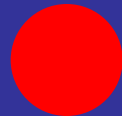
LED Materials

Inorganic

III – V Semiconductors

Al, Ga, In N, P, As, Sb

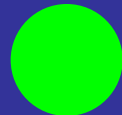
Al Ga As



Al Ga In P



Al Ga P

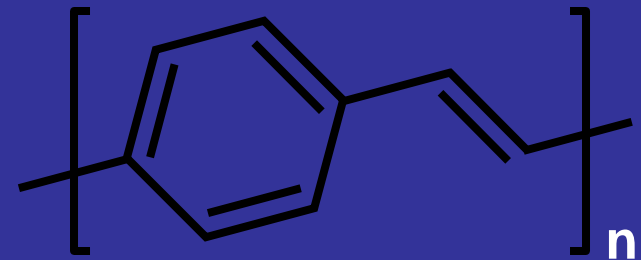


Ga N



Organic (OLED)

Polymeric luminescent molecules with conjugated electron systems

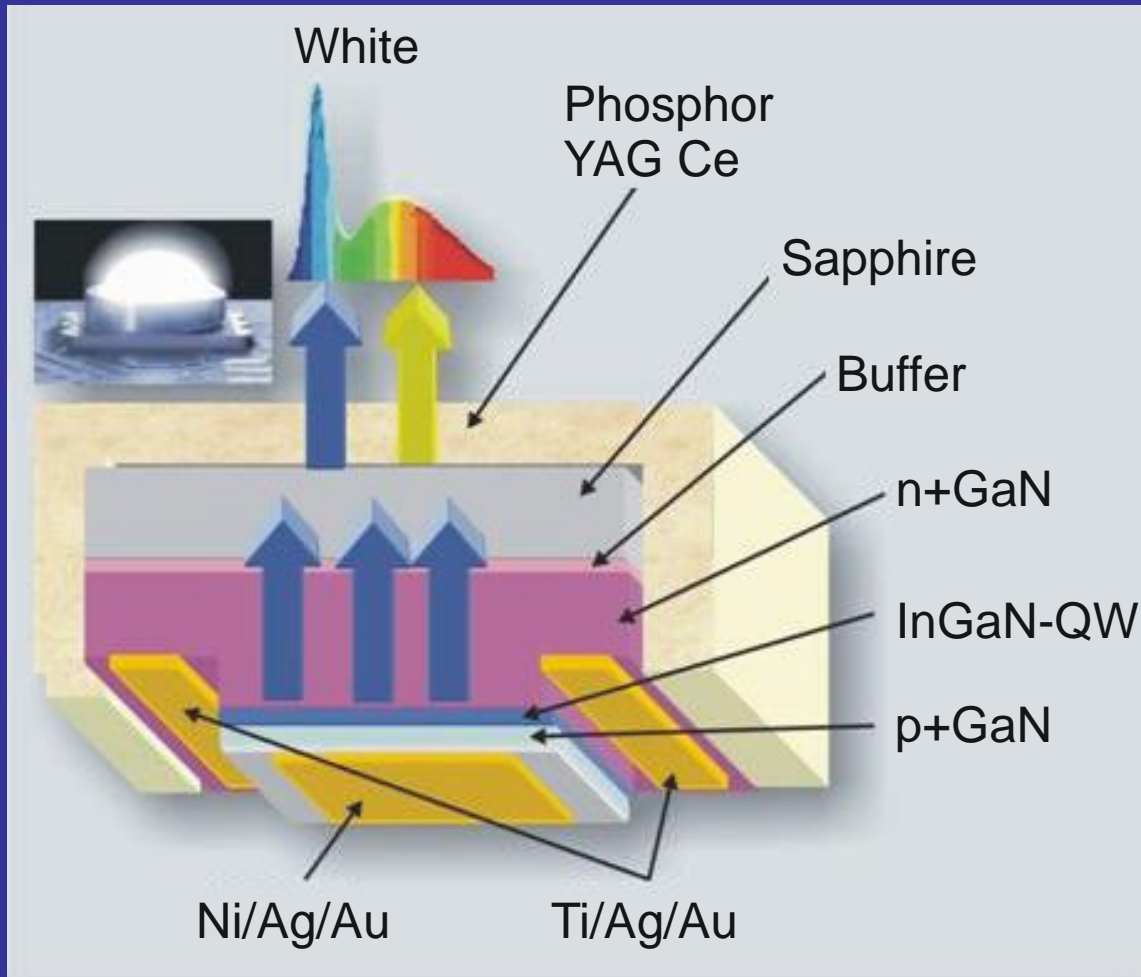


Polyphenylenvinylene

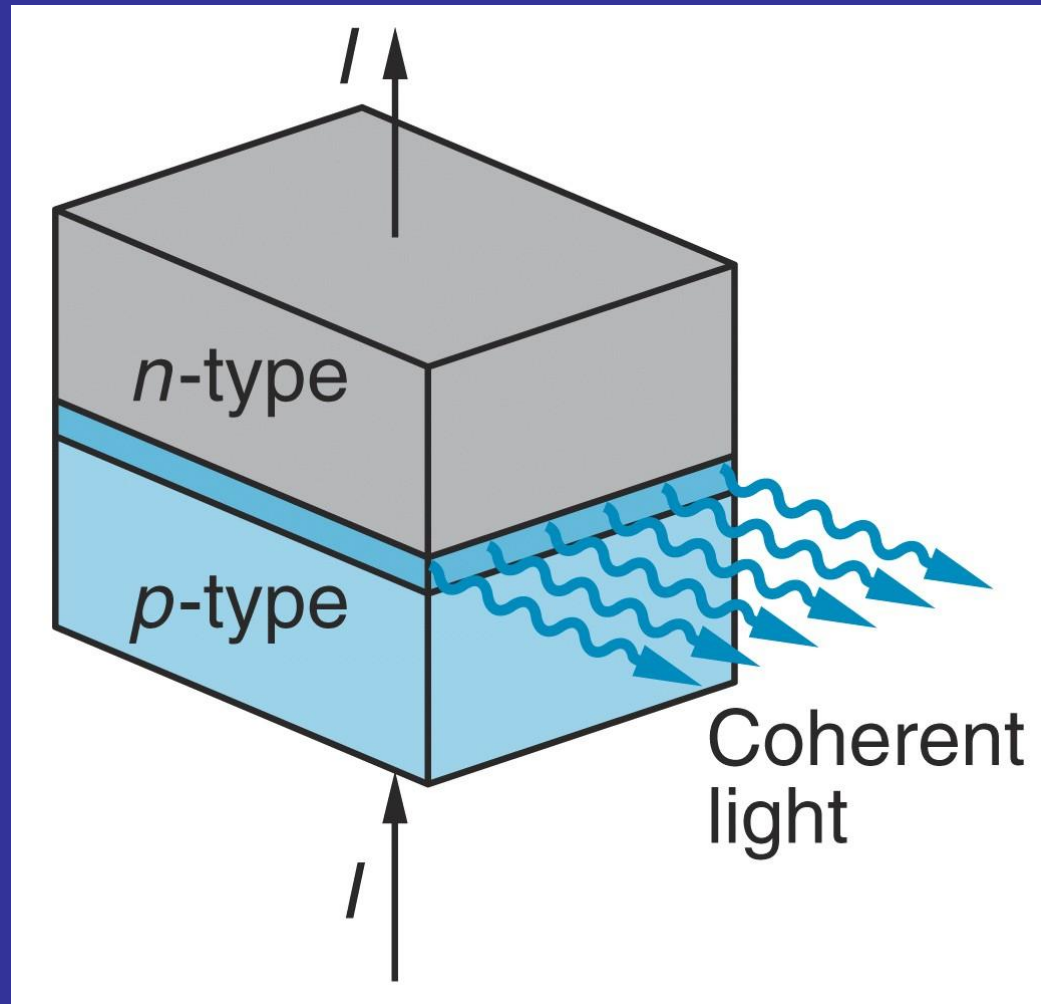
LED: kako do bele barve?

InGaN-QW/GaN/sapphire

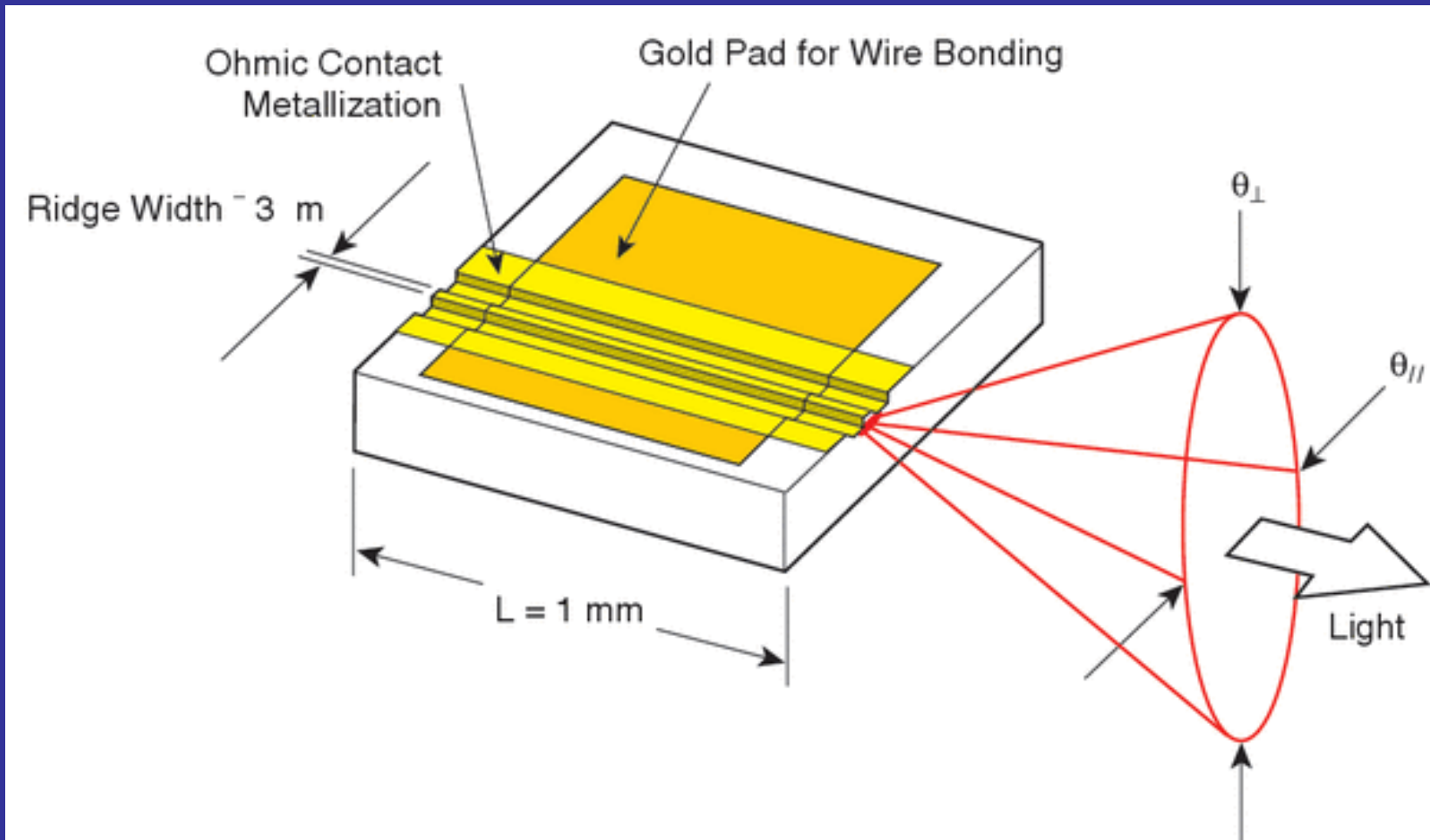
light-emitting chip + YAG Ce phosphor



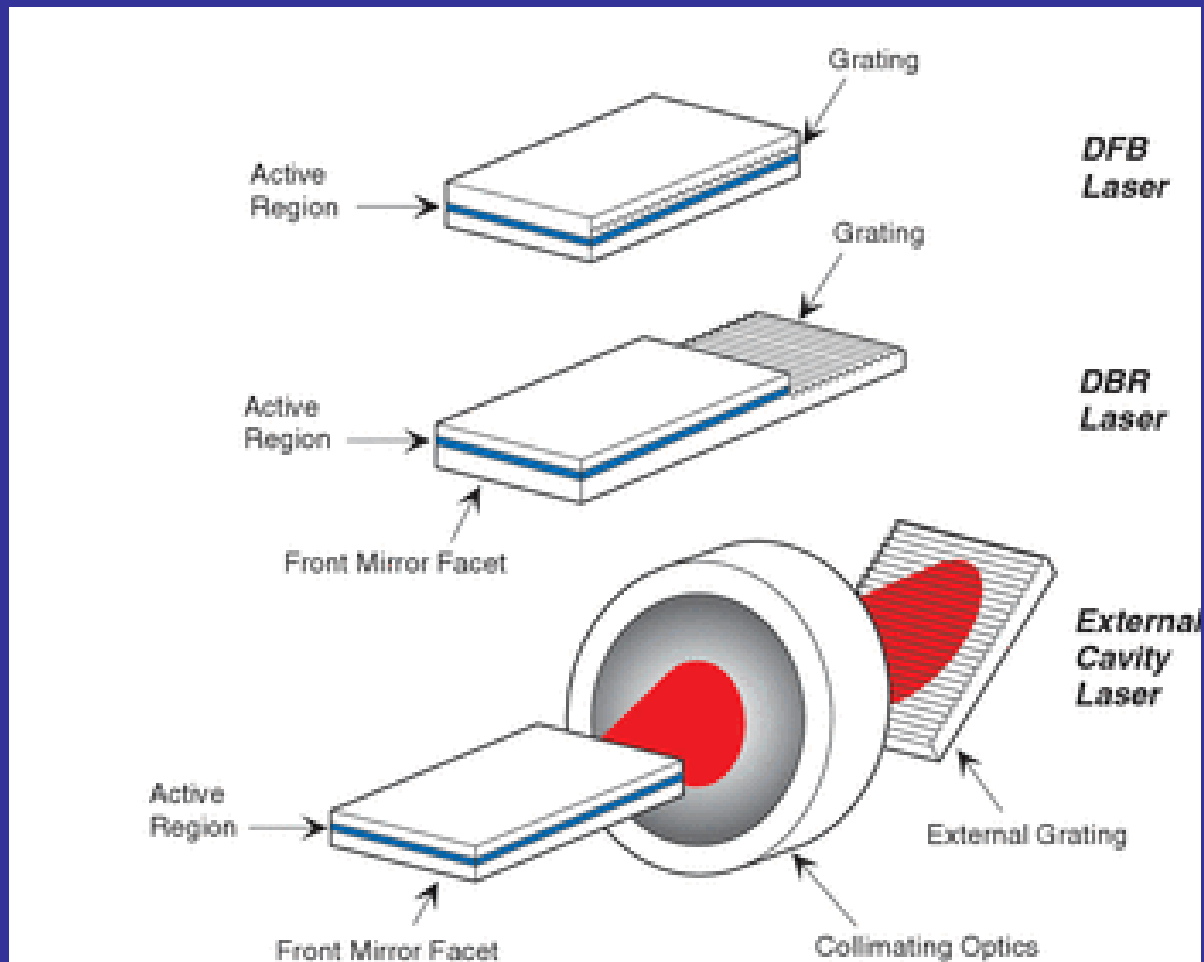
Kako do svetlobe iz laserske diode?



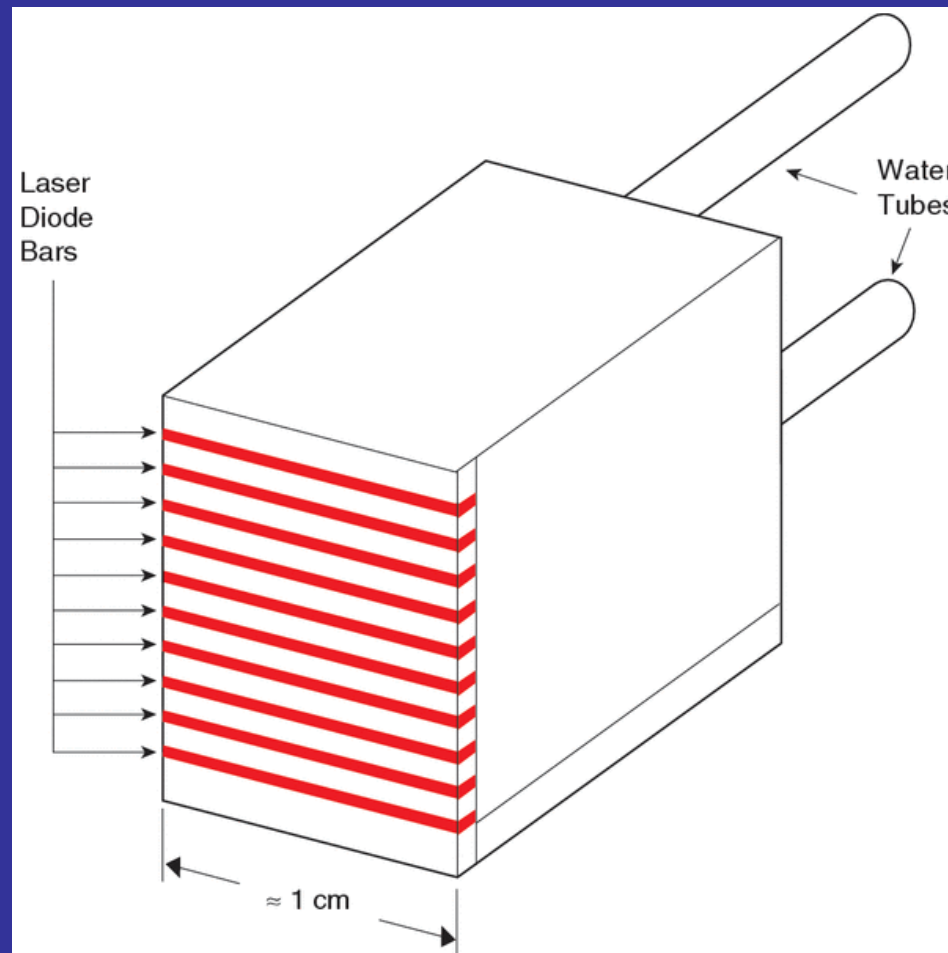
Typična laserska dioda manjše moči



Laserski resonatorji



Sestavljen laser za velike moči





OSVETLJEVANJE
S
SVETLEČIMI
DIODAMI



Fotometrija

Fizikalne enote

Fiziološke enote

Svetlobni tok

W

Lumen

Svetilnost

Svetlobni tok / prostorskim kotom

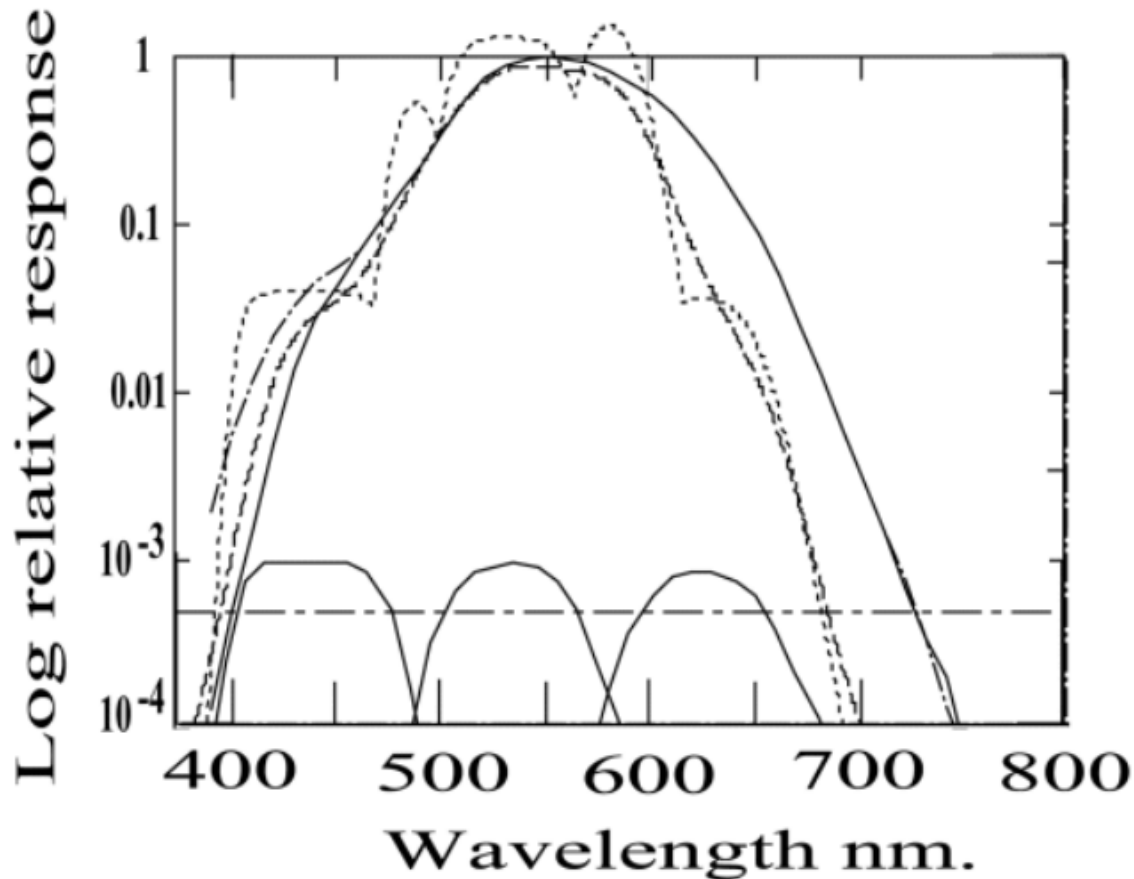
Svetlost

Svetilnost / površino

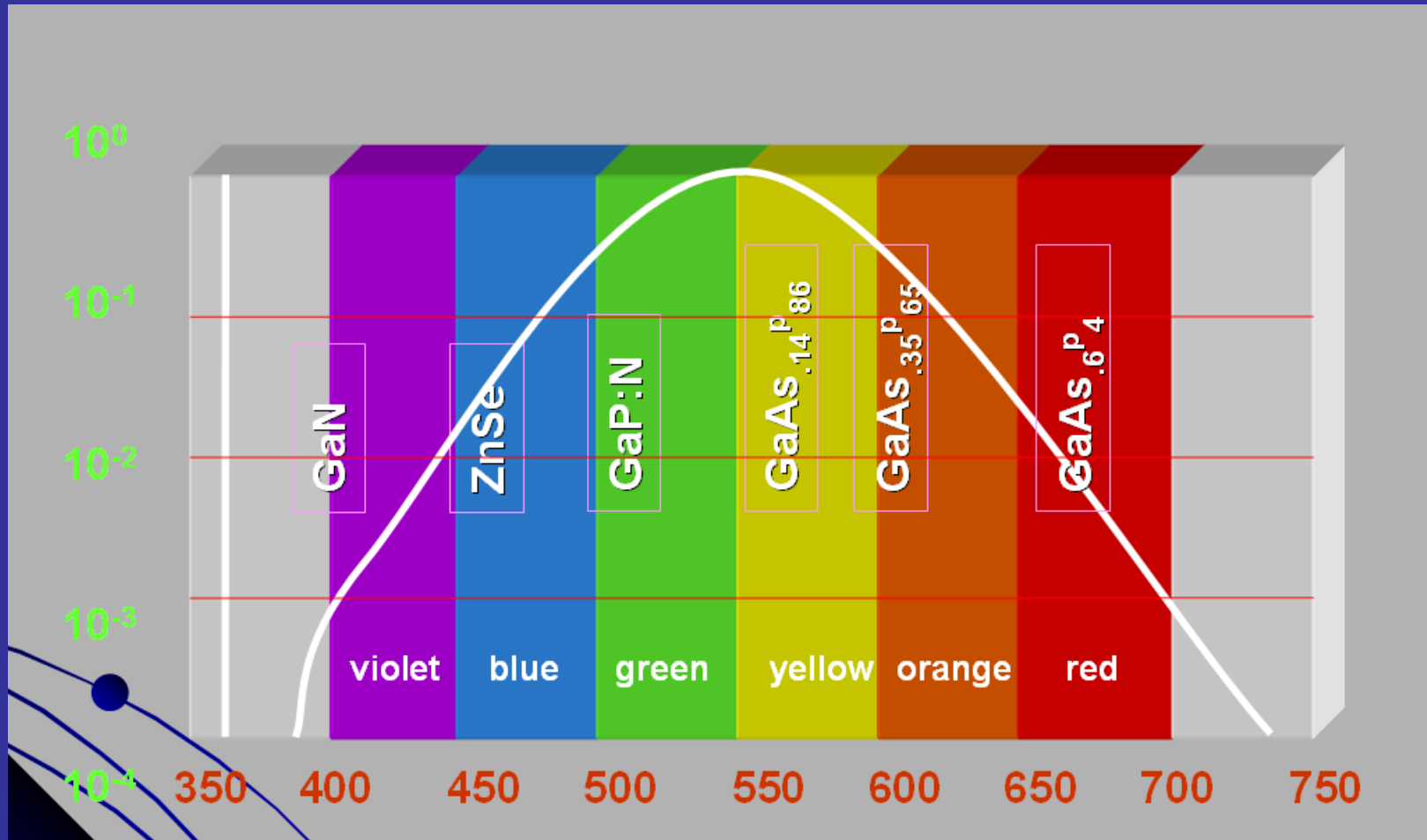
Relativna občutljivost oči

- Pri 555 nm velja $1 \text{ W} = 680 \text{ lm}$... definicija
- 700 nm $1 \text{ W} = 2.7 \text{ lm}$
- 600 nm $1 \text{ W} = 430 \text{ lm}$
- 500 nm $1 \text{ W} = 220 \text{ lm}$
- 400 nm $1 \text{ W} = 0.27 \text{ lm}$

Relativna občutljivost oči pri barvnem gledanju

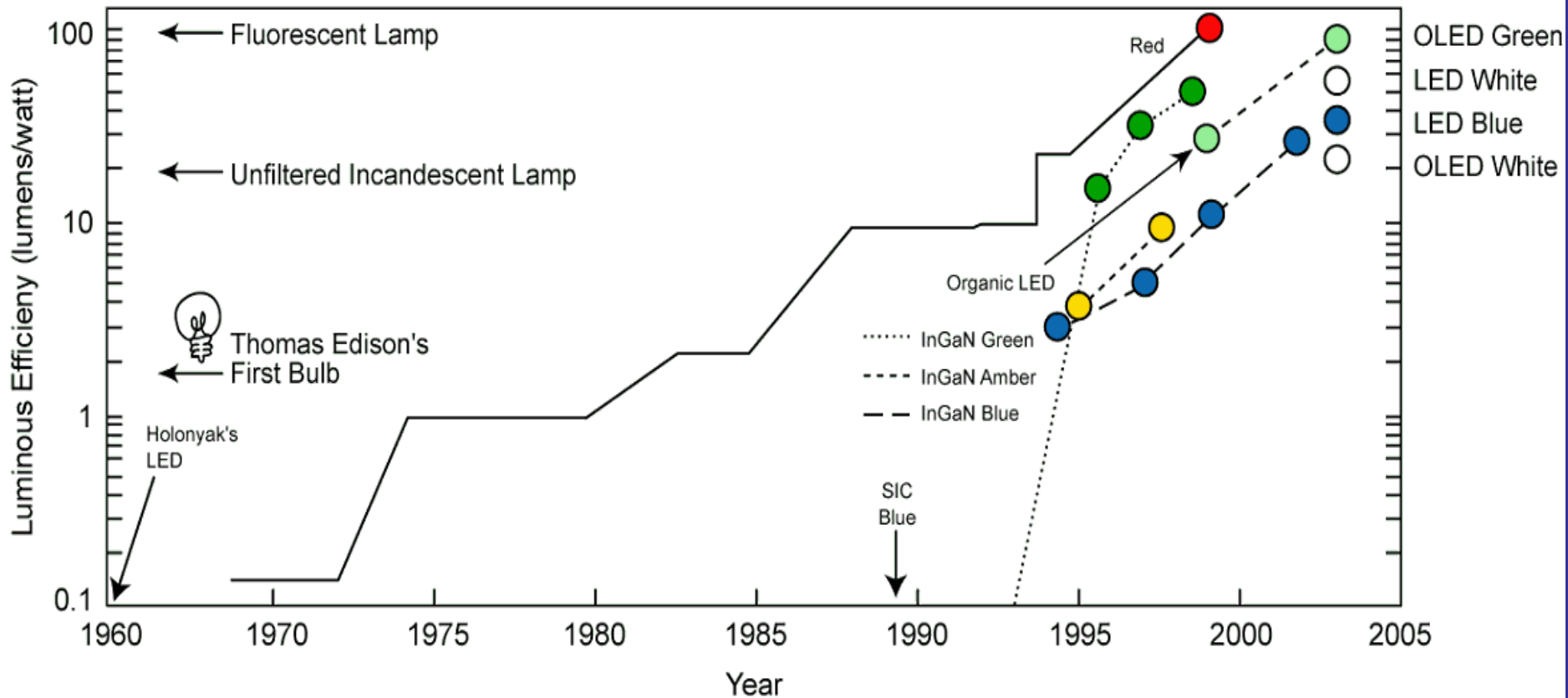


Barve različnih LED in občutljivost oči



Valovna dolžina (nm)

Učinkovitost svetlobnih izvorov za osvetljevanje



OSRAM LED za osvetljevanje



Karakteristike OSRAM LED za osvetljevanje 1

Type	color temperature	Luminous Flux ¹⁾ page 23 $I_F = 350 \text{ mA}$ $\Phi_V \text{ (mlm)}$	Luminous Intensity ²⁾ page 23 $I_F = 350 \text{ mA}$ $I_V \text{ (mcd)}$
LCW W5AM-JYKX-4U9X	2700 K	52.000 ... 82.000	16.750 (typ.)
LCW W5AM-JYJZ-4R9T	3000 K	52.000 ... 71.000	15.400 (typ.)
LCW W5AM-JZKY-4R9T		61.000 ... 97.000	19.800 (typ.)
LCW W5AM-KXKY-4R9T		71.000 ... 97.000	21.000 (typ.)
LCW W5AM-JYKZ-4O9Q	3500 K	52.000 ... 112.000	20.500 (typ.)
LCW W5AM-JZKX-4L8N	4000 K	61.000 ... 82.000	17.900 (typ.)
LCW W5AM-KXKY-4L8N		71.000 ... 97.000	21.000 (typ.)
LCW W5AM-KYKZ-4L8N		82.000 ... 112.000	26.150 (typ.)
LCW W5AM-JZKZ-4J8K	4500 K	61.000 ... 112.000	21.650 (typ.)

Karakteristike OSRAM LED za osvetljevanje 2

Maximum Ratings			
Bezeichnung Parameter	Symbol Symbol	Wert Value	Einheit Unit
Betriebstemperatur Operating temperature range	T_{op}	- 40 ... + 110	°C
Lagertemperatur Storage temperature range	T_{stg}	- 40 ... + 110	°C
Sperrschichttemperatur Junction temperature	T_j	125	°C
Durchlassstrom Forward current ($T_A=25^\circ\text{C}$)	(min.) I_F (max.) I_F	100 1000	mA mA
Stoßstrom Surge current $t \leq 10 \mu\text{s}, D = 0.005, T_A=25^\circ\text{C}$	I_{FM}	2000	mA
Sperrspannung Reverse voltage ($T_A=25^\circ\text{C}$)	V_R	not designed for reverse operation	V
Leistungsaufnahme Power consumption ($T_A=25^\circ\text{C}$)	P_{tot}	4.0	W
Wärmewiderstand Thermal resistance Sperrschicht/Lötpad Junction/solder point (max.)	$R_{th JS}$	11	K/W

Karakteristike OSRAM LED za osvetljevanje 3

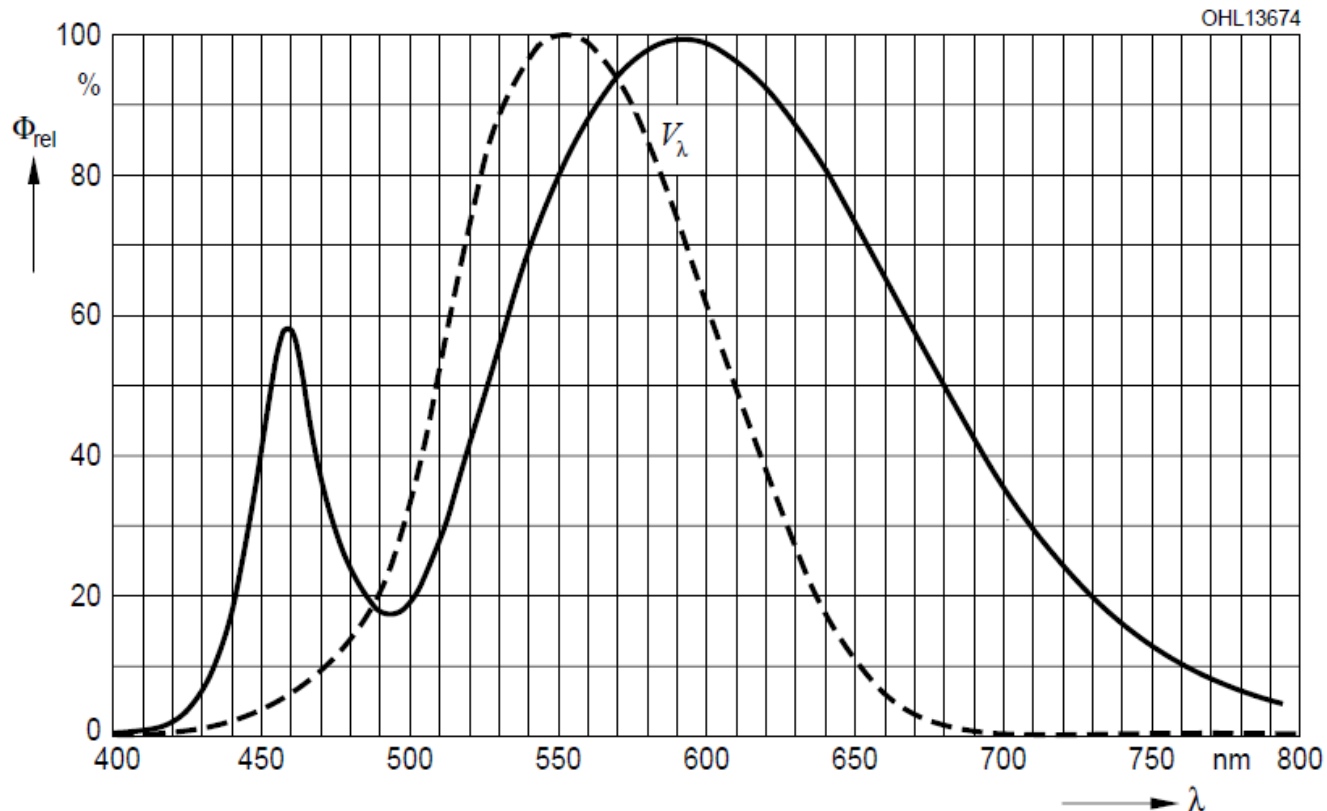
Farbtemperatur ^{2) Seite 23)} Color temperature ^{2) page 23)} $I_F = 350 \text{ mA}$	(min.)	T	2500	K
		T		K
	(max.)	T	4800	K
Abstrahlwinkel bei 50 % I_V (Vollwinkel) Viewing angle at 50 % I_V	(typ.)	2ϕ	170	Grad deg.
Durchlassspannung ^{4) Seite 23)} Forward voltage ^{4) page 23)} $I_F = 350 \text{ mA}$	(min.)	V_F	2.7	V
	(typ.)	V_F	3.2	V
	(max.)	V_F	3.8	V
Sperrstrom Reverse current	(max.)	I_R	not designed for reverse operation	μA
Optischer Wirkungsgrad Optical efficiency $I_F = 350 \text{ mA}, T_C = 3500 \text{ K}$	(typ.)	η_{opt}	62	lm/W

Karakteristike OSRAM LED za osvetljevanje 4

Relative Spectral Emission²⁾ page 23

$V(\lambda)$ = spektrale Augenempfindlichkeit / Standard eye response curve

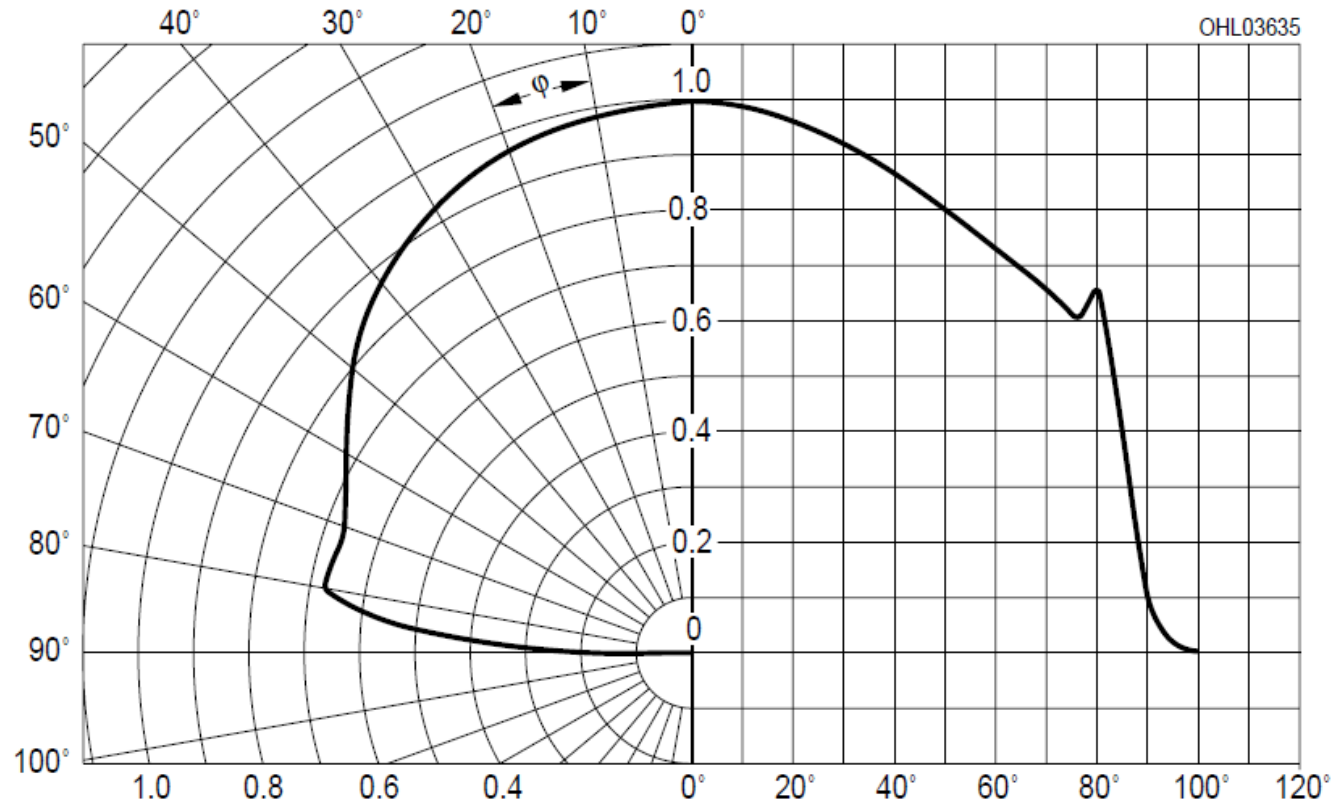
$\Phi_{\text{rel}} = f(\lambda)$; $T_A = 25\text{ }^\circ\text{C}$; $I_F = 350\text{ mA}$



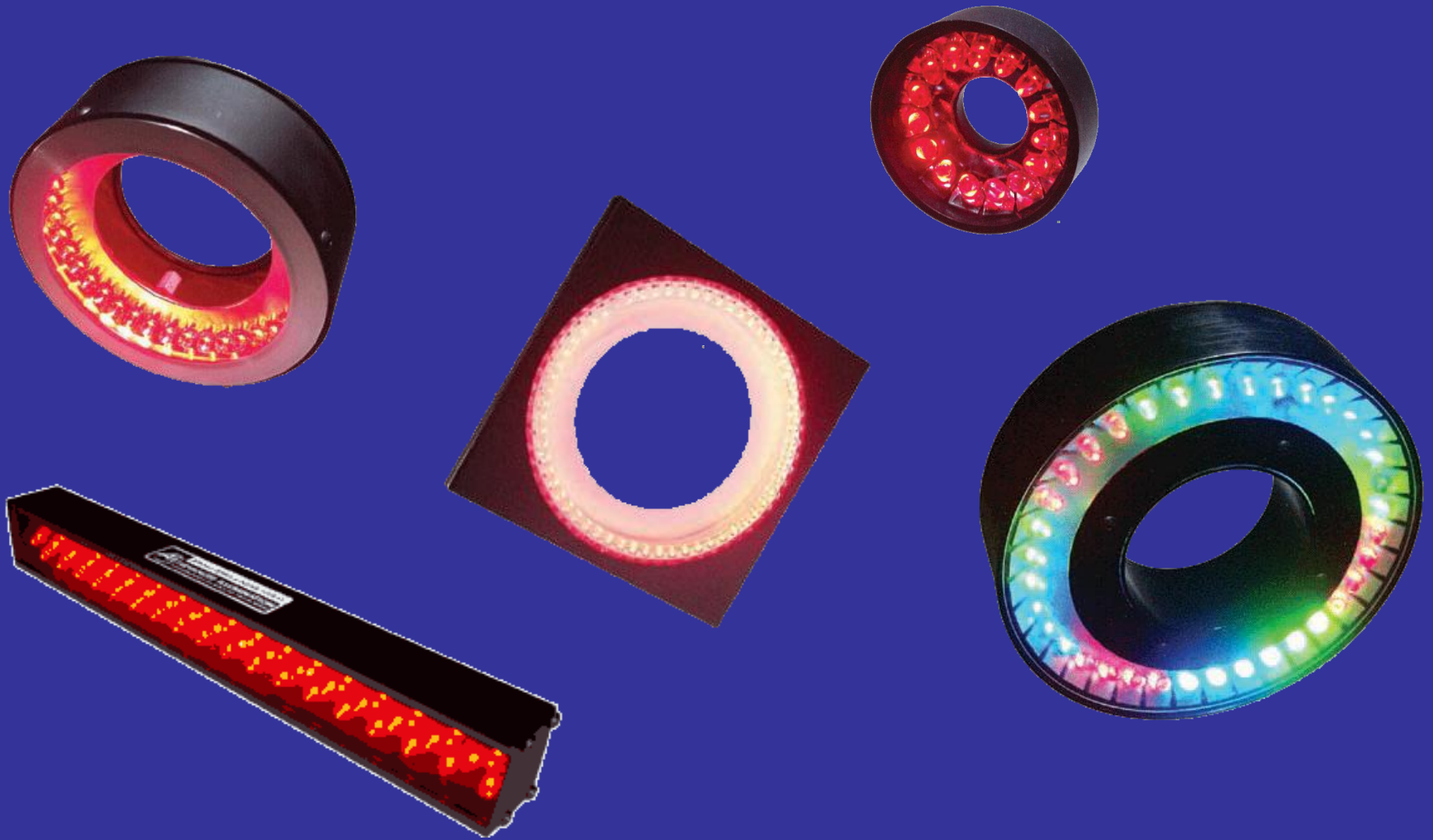
Karakteristike OSRAM LED za osvetljevanje 5

Radiation Characteristic²⁾ page 23

$$I_{\text{rel}} = f(\varphi); T_A = 25 \text{ }^\circ\text{C}$$



Osvetljevalniki za mikroskopijo



Tehnologija LED v avtomobilih



**Voll-LED-Scheinwerfer
2007/2008**



**Voll-LED
Rückleuchte
2006**



**Erste Signalfunktionen
im Scheinwerfer 2003**



**Hochgesetzte
Bremsleuchte
1992**



**Brems- /
Rücklicht-
Funktion
2000**



Primerjava avtomobilskih žarnic



	Glüh- lampe P21 W	Halogen- lampe H21 W	Halogen- lampe H7	Xenon- lampe D2 S	LED
Effizienz lm/W	18	25	25	90	50 – 90* (* Labor)
Lebens- dauer h	400 (Tc)	440 (Tc)	550 (Tc)	2000 (B50)	10000 - 50000 (B50)

Tc: 63 % Ausfälle, B50: 50 % Ausfälle

Laserska dioda 10 W

Data Sheet

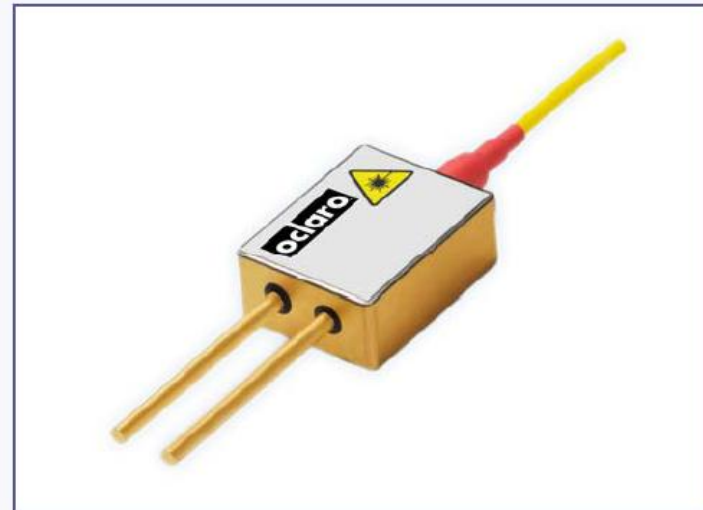
oclaroTM

10W 9xxnm Uncooled Multimode Laser Diode Module

BMU10A-9xx-01/02-R


Features:

- High output powers of 10W
- 0.15NA or 0.22NA 105 μ m core multimode optical fiber
- Hermetically sealed 2-pin package
- Floating anode/cathode
- High reliability
- Excellent solderability
- Standard wavelengths at 915, 940, 960, and 975nm (others available on request)



OCLARO 10 W laserska dioda z optičnim vlaknom

Features:

- High output powers of 10W
- 0.15NA or 0.22NA 105 μ m core multimode optical fiber
- Hermetically sealed 2-pin package
- Floating anode/cathode
- High reliability
- Excellent solderability
- Standard wavelengths at 915, 940, 960, and 975nm (others available on request)
- RoHS compliant 

OCLARO 10 W laserska dioda z optičnim vlaknom - karakteristike

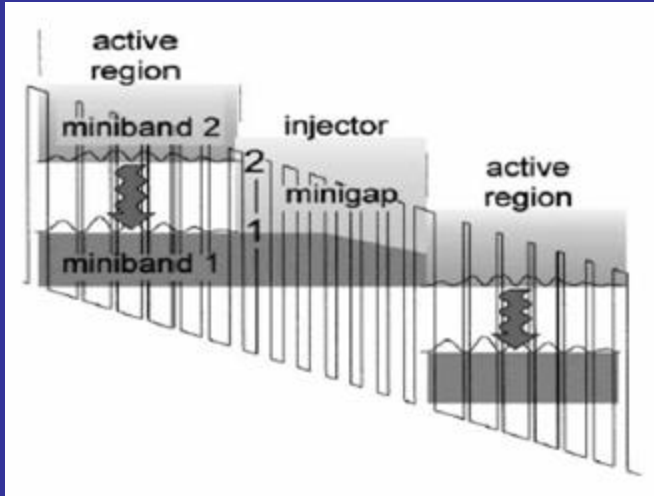
Parameter	Symbol	Typical	Unit
Fiber Coupled CW Output Power	P_{op}	10	W
Center Wavelength [1] BMU10A-915-01/02-R BMU10A-940-01/02-R BMU10A-960-01/02-R BMU10A-975-01/02-R BMU10A-975B-01/02-R	λ_{c915} λ_{c940} λ_{c960} λ_{c975} λ_{c975B}	915 ± 10 940 ± 10 960 ± 10 975 ± 10 976 ± 3	nm
Spectral Width (95% of Power)	$\Delta\lambda$	6	nm
Threshold Current	I_{th}	600	mA
Slope Efficiency	$\eta_D = P_{op} / (I_{op} - I_{th})$	0.95	W/A
Conversion Efficiency	$H = P_{op} / (V_{op} \times I_{op})$	48	%
Operating Current	I_{op}	11.5	A
Operating Voltage	V_{op}	1.9	V
Operating Temperature	T_{op}	25 ± 5	°C

Uporaba močnostnih laserskih diod

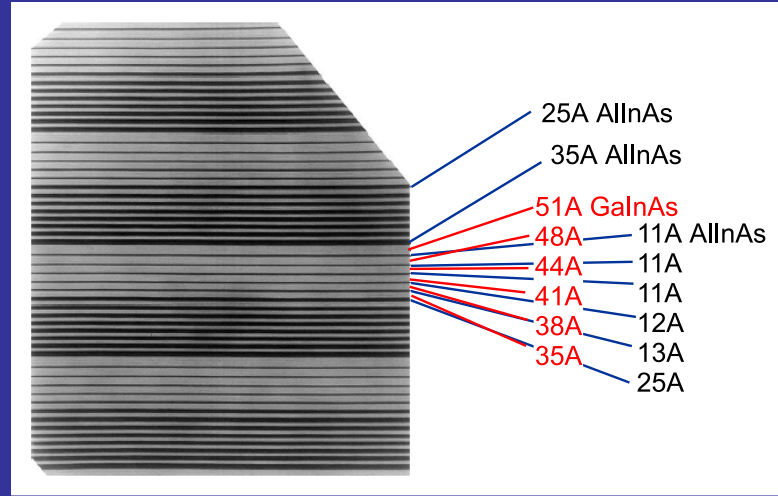
- Črpanje (vlakenskih) laserjev
- Direktna uporaba snopa
- Obdelava materialov
- Tiskanje
- Medicinske aplikacije

Quantum cascade lasers

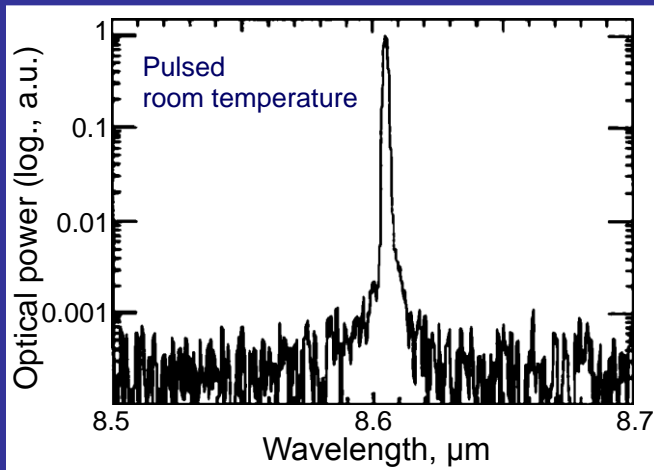
Band diagram



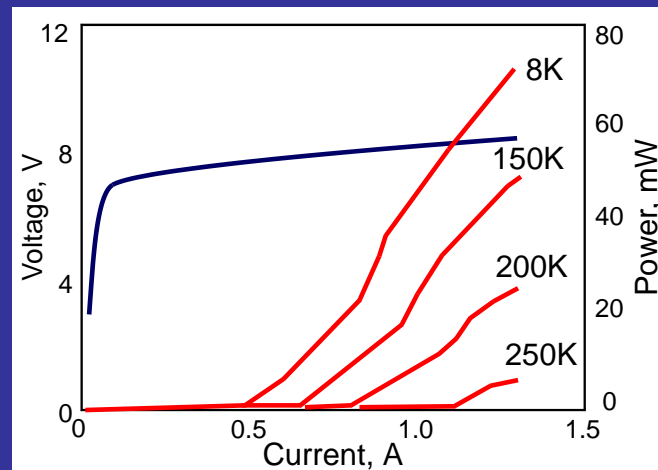
Layer sequence



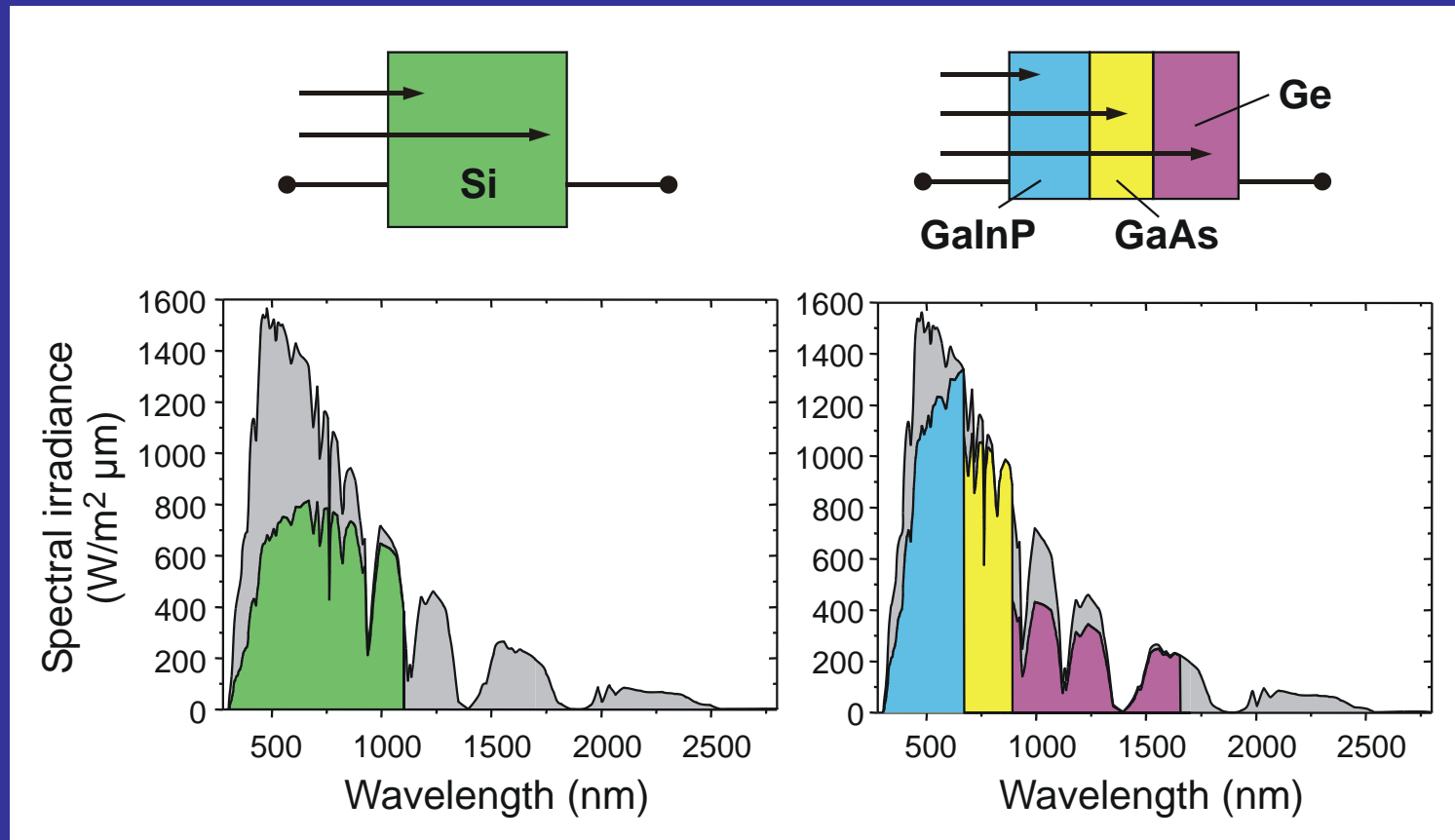
Emission spectrum at room temperature



Light- and Volt-current characteristics



Multijunction solar cells provide conversion of the solar spectrum with higher efficiency.
Achievable efficiency of multijunction cells is $> 50\%$



Hvala za vašo
pozornost!